

INF5490 RF MEMS

L13: RF MEMS kapasitanser

V2008, Oddvar Søråsen
Institutt for informatikk, UiO

Dagens forelesning

- Passive komponenter i RF kretser
 - Kapasitanser, C
 - Induktanser, L
- Tunbare **RF MEMS kapasitanser**
 - **Vertikalt** tunbare kapasitanser
 - **Lateralt** tunbare kapasitanser
 - **Termisk** tunbare MEMS kapasitans
 - **Piezoelektrisk** aktuator tunbare kapasitanser
 - Tuning ved endring av **dielektrisk** materiale
- RF MEMS **kapasitans banker**

Passive komponenter i RF-kretser

- → **MEMS kondensatorer og spoler**
 - Aktuelle som **erstatninger** for tradisjonelle "off-chip" passive komponenter
 - Tunbarhet og programmerbarhet er ønskelig
- **MEMS kapasitanser**
 - Enkle, **tunbare** kapasitanser
 - = **varactor** ("variable reactor")
 - Programmerbare kapasitans-banker med faste C
- **MEMS induktanser (L14)**
 - Enkle, **faste** induktanser
 - Programmerbare induktans-banker med faste L

Bruk av tunbare kapasitanser

- **VCO** = "Voltage controlled oscillator"
 - Verdien av C bestemmer frekvensen
 - Tunes med spenning
 - VCO har høye krav til
 - Stabilitet
 - Lav fase-støy
 - Bredt frekvensområde
- Tunbare filtre
- Tunbare nettverk
- Impedans-tilpasning
- Faseskiftere

MEMS konkurrerer med dagens halvleder-løsninger

- Mange diskrete **Si** og **GaAs** varaktorer eksisterer
 - → 30 GHz
 - Eks. $Q = 30-60$ for 0.5-5 GHz (SiGe)
 - Ennå en tid før MEMS varaktorer kan erstatte GaAs varaktorer, spesielt i området under 5 GHz
- MEMS varaktorer har ikke hatt en like stor utvikling som MEMS svitsjer
 - Likevel: den RF MEMS komponent som er nærmest **anvendelser i markedet**
 - Forholdsvis moden teknologi
 - Det finnes allerede mange demonstrasjoner av MEMS erstatnings-komponenter, DC → 100 GHz

Typiske trekk for MEMS varaktorer

- + Har potensial for **høye Q-verdier**
 - Høy Q-verdi (>100) over et bredt frekvensbånd
 - $Q = 100 - 400$ for mm-frekvenser
- + Enkelhet, sammenlignet med konkurrerende teknologier
- + Kan tåle store RF spennings-sving
- + Kan produseres billig på glass, keramikk, høy-resistivitets Si-substrat
 - For eksempel for "lav-kost" 3 – 60 GHz tunbare nettverk og filtre
- + Mer pålitelig
- + Enkel og billig pakking

Hvorfor etterstrebes høy Q-verdi?

- Q-faktor karakteriserer tap pga. effekt-dissipering i elementet
- Q bør være størst mulig for å redusere Insertion loss
- Quality factor fundamentals (definition)

$$Q = 2\pi \frac{\text{maximum instantaneous energy stored in circuit}}{\text{energy dissipated per cycle}}$$

Characterize power loss due to dissipation mechanisms in reactive elements.

$$Q_{\text{Tuned Circuit}} = \frac{f_0}{B}$$

$$Q_{\text{Capacitor}} = \frac{\omega_0 C}{G}$$

$$Q_{\text{Inductor}} = \frac{\omega_0 L}{R}$$

Unloaded : Q (intrinsic)

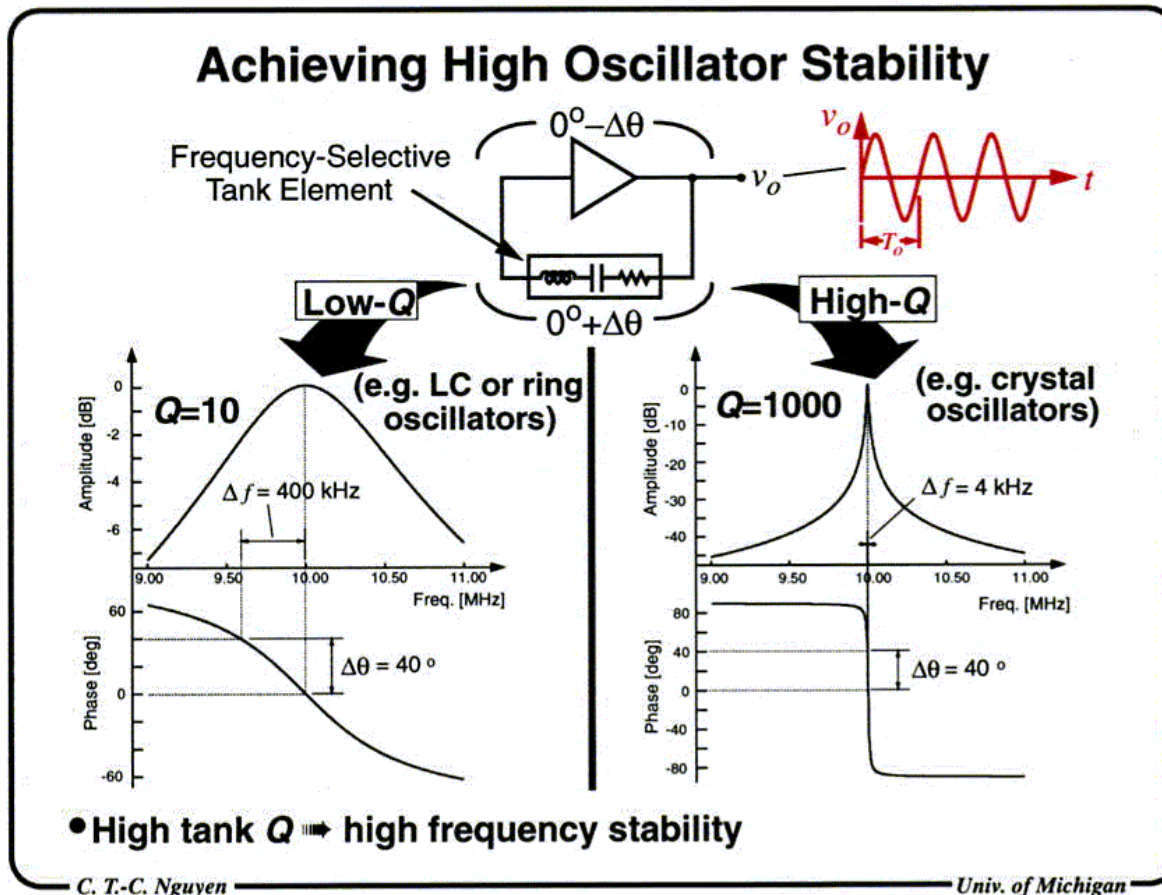
Losses due to external load : Q_L

→ Insertion loss at resonance:

$$IL(\text{dB}) = 20 \log \left(1 + \frac{Q_L}{Q} \right)$$

Korrelasjon mellom Q-faktor og oscillator-stabilitet

- Q-faktoren er helt sentral når det gjelder RF krets-ytelse!



Ekvivalentkrets for kapasitans

- Ved høye frekvenser → induktans
 - har en karakteristisk **selvresonans-frekvens**
 - Induktansen bør holdes så lav som mulig slik at selvresonans ligger mye høyere enn bruksområdet

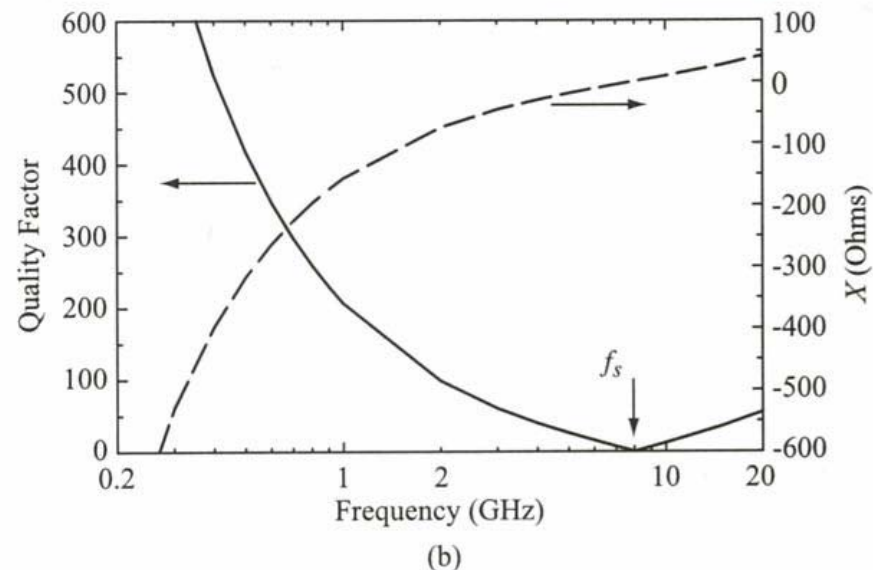
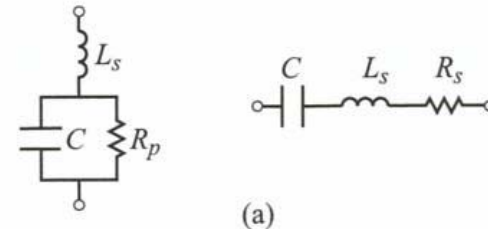


Figure 11.1. (a) Capacitor models. (b) Calculated reactance and Q of a 1-pF capacitor with $L_s = 0.4$ nH and $R_s = 0.83$ Ω ($f_s = 8$ GHz).

Impedans og Q-faktor til en diskret kondensator

Q-faktor angis for $\omega L \ll 1/\omega C$

$$\begin{aligned} Z &= R_s + j\left(\omega L_s - \frac{1}{\omega C}\right) && \text{for a series model} \\ &\simeq \frac{1}{\omega^2 C^2 R_p} + j\left(\omega L_s - \frac{1}{\omega C}\right) && \text{for a parallel model} \end{aligned} \quad (11.2)$$

The capacitor quality factor, Q , is derived to be

$$\begin{aligned} Q &= \frac{|\text{Im}(Z)|}{\text{Re}(Z)} = \frac{1}{\omega C R_s} && \text{for a series model} \\ &= \omega C R_p && \text{for a parallel model} \end{aligned} \quad (11.3)$$

SERIE



$$Z = R + j\left(\omega L - \frac{1}{\omega C}\right)$$

Selvrresonans: $\text{Im}(Z) = 0$ $\omega_0 = \frac{1}{\sqrt{LC}}$

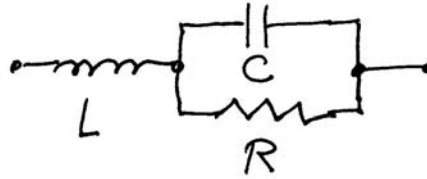
Under selvrresonans

$$\omega^2 \ll \frac{1}{LC}$$

$$\omega L \ll \frac{1}{\omega C}$$

$$Q = \frac{|\text{Im}(Z)|}{\text{Re}(Z)} \approx \frac{\frac{1}{\omega C}}{R} = \underline{\underline{\frac{1}{\omega CR}}}$$

PARALLELL



$$Z = sL + (C \parallel R) = sL + \frac{\frac{1}{sC} \cdot R}{\frac{1}{sC} + R} = sL + \frac{1}{sC + \frac{1}{R}}$$

$$Z = sL + \frac{1}{sC} + t$$

$$t = \frac{1}{sC + \frac{1}{R}} - \frac{1}{sC} = \frac{-\frac{1}{R}}{s^2 C^2 + sC \frac{1}{R}} = \frac{-1}{s^2 C^2 R + sC}$$

$$t = \frac{1}{\omega^2 C^2 R - j\omega C} \approx \frac{1}{\omega^2 C^2 R}$$

↑ Dominerende ved lave frekvenser

$$Z = j(\omega L - \frac{1}{\omega C}) + t = j(\omega L - \frac{1}{\omega C}) + \frac{1}{\omega^2 C^2 R}$$

$$Q = \frac{|\operatorname{Im}(Z)|}{\operatorname{Re}(Z)} = \frac{\frac{1}{\omega C}}{\frac{1}{\omega^2 C^2 R}} = \frac{\omega^2 C^2 R}{\omega C} = \underline{\underline{\omega C R}}$$

Utfordringer for RF MEMS kapasitanser

- ÷ **Tunbarhetsområdet** for MEMS varaktorer er lite
 - 1.2 – 2.5
 - Tilsvarende for halvleder-varaktorer 4 – 6
 - → Oppnå tilstrekkelig **Tuning Range (TR)**
 - Definisjon TR: C_{\max} / C_{\min}
 - Bør være > 2
- ÷ MEMS er følsom for ulike **støyeffekter** som gjør seg gjeldende ved lav fjærkonstant, k
 - Lav k er ønskelig for 3 – 5 V anvendelser
 - Er problematisk pga.
 - Aksellerasjon, RF power selv-aktivering, støy-effekter

Parallell plate kondensator

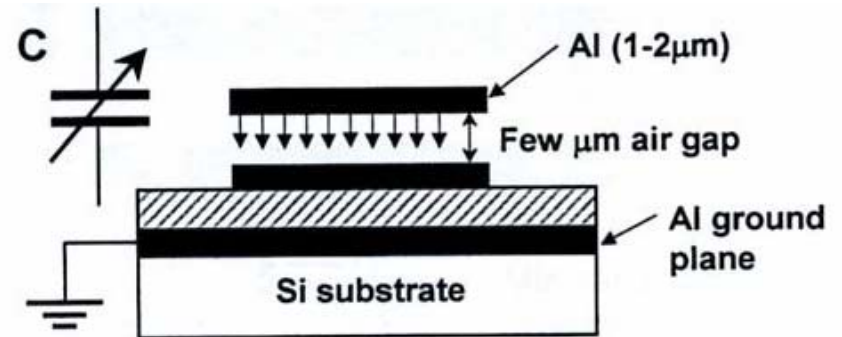
- Grunnleggende ligninger
 - $Q = V C$, $I = C dV/dt$
 - $C = \epsilon A / g$
- NB! C kan generelt tunes ved hjelp av 3 parametre
 - g , gap
 - A , areal
 - ϵ , dielektrisitetskonstant

Tunbare RF MEMS kapasitanser

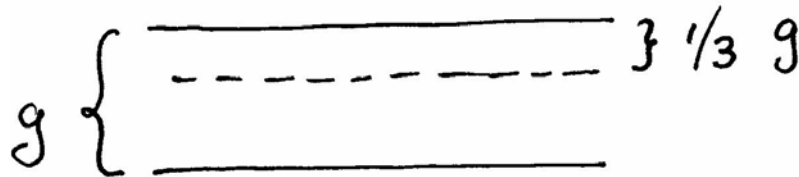
- **Elektrostatisk aktivering** er en dominerende mekanisme for tuning
 - Lavt effektforbruk, enkelhet
- **Vertikal** elektrostatisk forskyvning
 - Tuning av gapet (**ikke-lineær** endring) i parallell plate kondensator
 - 2-plate kapasitans
 - 3-plate kapasitans
 - Dobbelt luft-gap kapasitans
 - Andre eksempler
- **Horisontal** (lateral) forskyvning
 - Tuning av arealet (**lineær** endring)
- **Termisk** tunbare MEMS kapasitans
- **Piezoelektrisk** aktuator tunbare kapasitanser
- Tuning ved endring av **dielektrisk** materiale

To-plate tunbar MEMS kapasitans

- Young & Boser, Berkeley
- Gap-tuning
- Den ene platen kan beveges ved elektrostatiske aktivering
- Opererer under likevekt mellom elastiske og elektriske krefter



Beregning av TR for 2-plate kapasitans



$$C_{min} = \epsilon \frac{A}{g}$$

$$C_{max} = \epsilon \frac{A}{\frac{2}{3}g} = 1.5 C_{min}$$

$$C_{max} = 150\% \cdot C_{min} \Rightarrow TR = 150\%$$

Teoretisk TR = 150%. Begrenset av pull-in effekten

Young & Bover, Berkeley

- Etsing av hull i kapasitansplaten
 - For mindre demping (squeezed-film damping)
 - Positivt for "release"-trinnet i en prosess

- Theoretical tuning range: 50% (limited by pull-in effect)
- Practical tuning range (demonstrated):
TR=16%, $C_{\max}=2.46\text{pF}$, $C_{\min}=2.11\text{pF}$, $V_A=5\text{V}$
- RF performance: $Q=62 @ 1\text{GHz}$

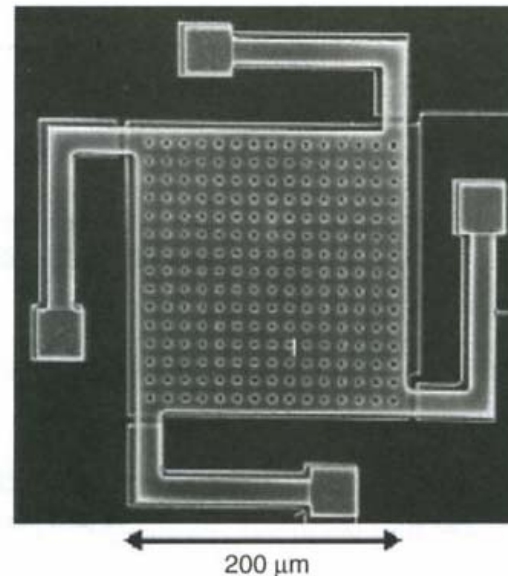
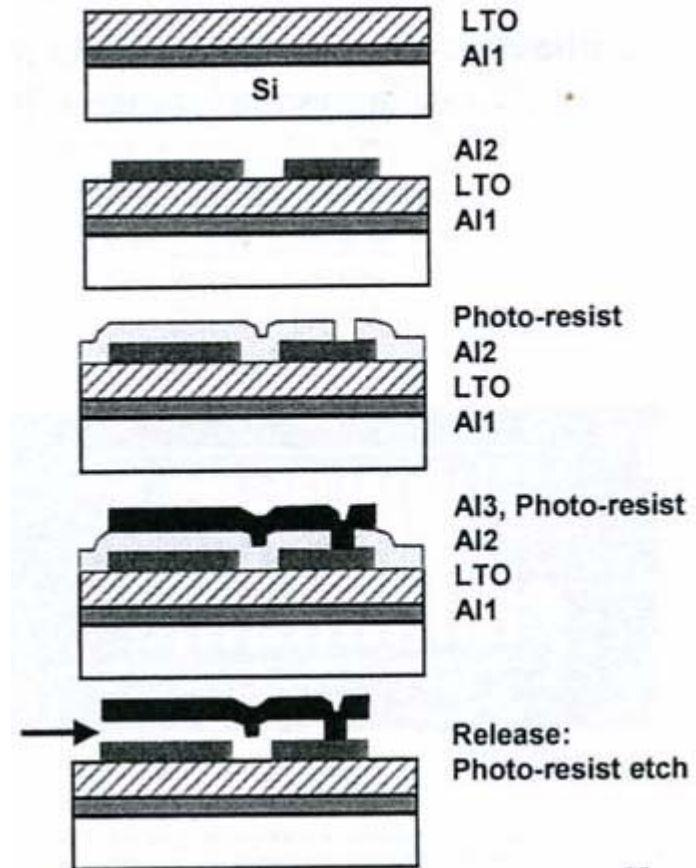


Figure 4.33 Top view of a micromachined variable capacitor. Reproduced from D.J. Young and B.E. Bover, 1996, 'A micromachined variable capacitor for monolithic low-noise VCOs', in *Proceedings of the International Conference on Solid-state sensors and Actuators*, IEEE, Washington, DC: 86–89, by permission of IEEE, © 1996 IEEE

Implementasjon

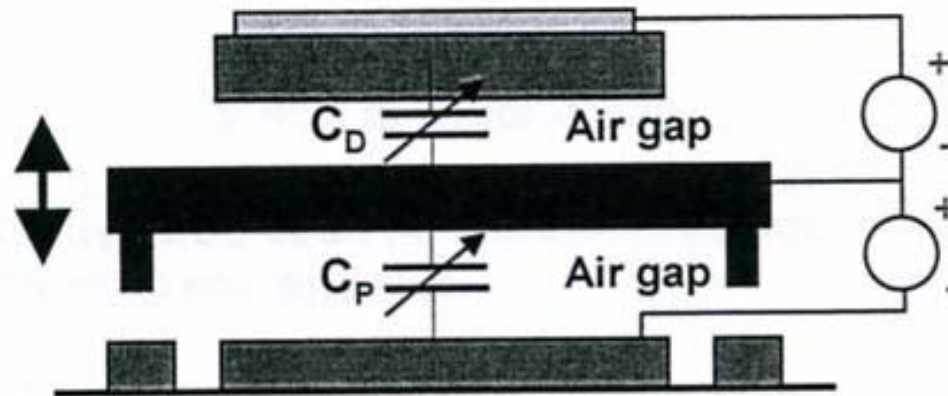
- Typiske trekk fra implementasjoner ved Berkeley
- Overflate mikromaskinering
 - 2 metall-lag + Al jord-plan



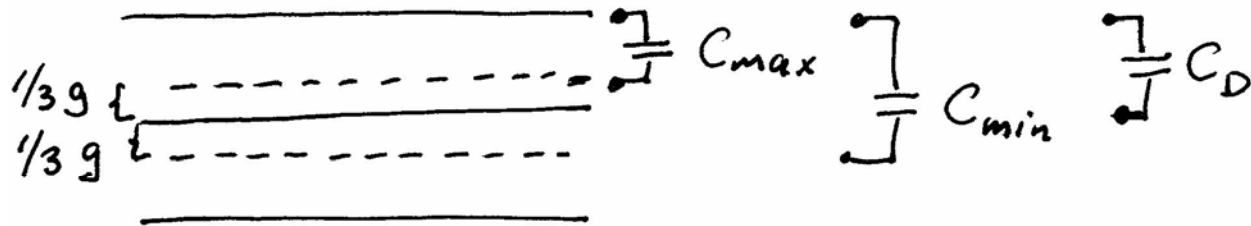
LTO = Low temperature oxide

3-plate tunbar MEMS kapasitans

- TR kan utvides ved å introdusere en 3dje plate
 - A. Dec & K. Suyama: "Micromachined Electro-Mechanically Tunable Capacitors and Their Applications to RF IC's" 1998.
Columbia University



Beregning av TR for 3-plate



$$C_{max} = \frac{3}{2} C_D$$

$$C_{min} = \epsilon \frac{A}{\frac{4}{3} g} = \frac{3}{4} C_D$$

$$TR = \frac{C_{max}}{C_{min}} = \frac{\frac{3}{2} C_D}{\frac{3}{4} C_D} = 2 = 200\%$$

TR = 200%, dvs.: kan tunes 100%

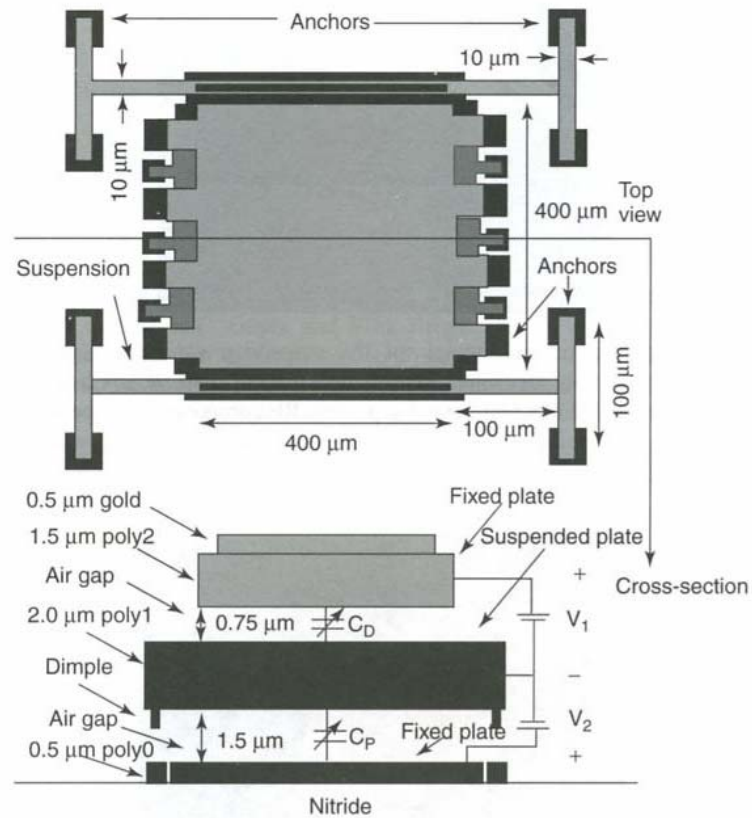


Figure 4.35 Top and cross-sectional views of three-plate varactor. Reproduced from A. Dec and K. Suyama, 1998b, 'Micromachined electromechanically tunable capacitors and their applications to RF IC's', *IEEE Transactions on Microwave Theory and Techniques* 46(12): 2587–2596, by permission of IEEE, © 1998 IEEE

Demonstrerte verdier,
Dec & Suyama:

- **Theoretical tuning range: 100%**
- **Practical tuning range:**
TR=87%, $C_{\min}=3.4\text{pF}$, $C_{\max}=6.4\text{pF}$, $V\sim 4\text{V}$
- **RF performance: $Q = 15.4 @ 1\text{GHz}$, $7.1 @ 2\text{GHz}$**

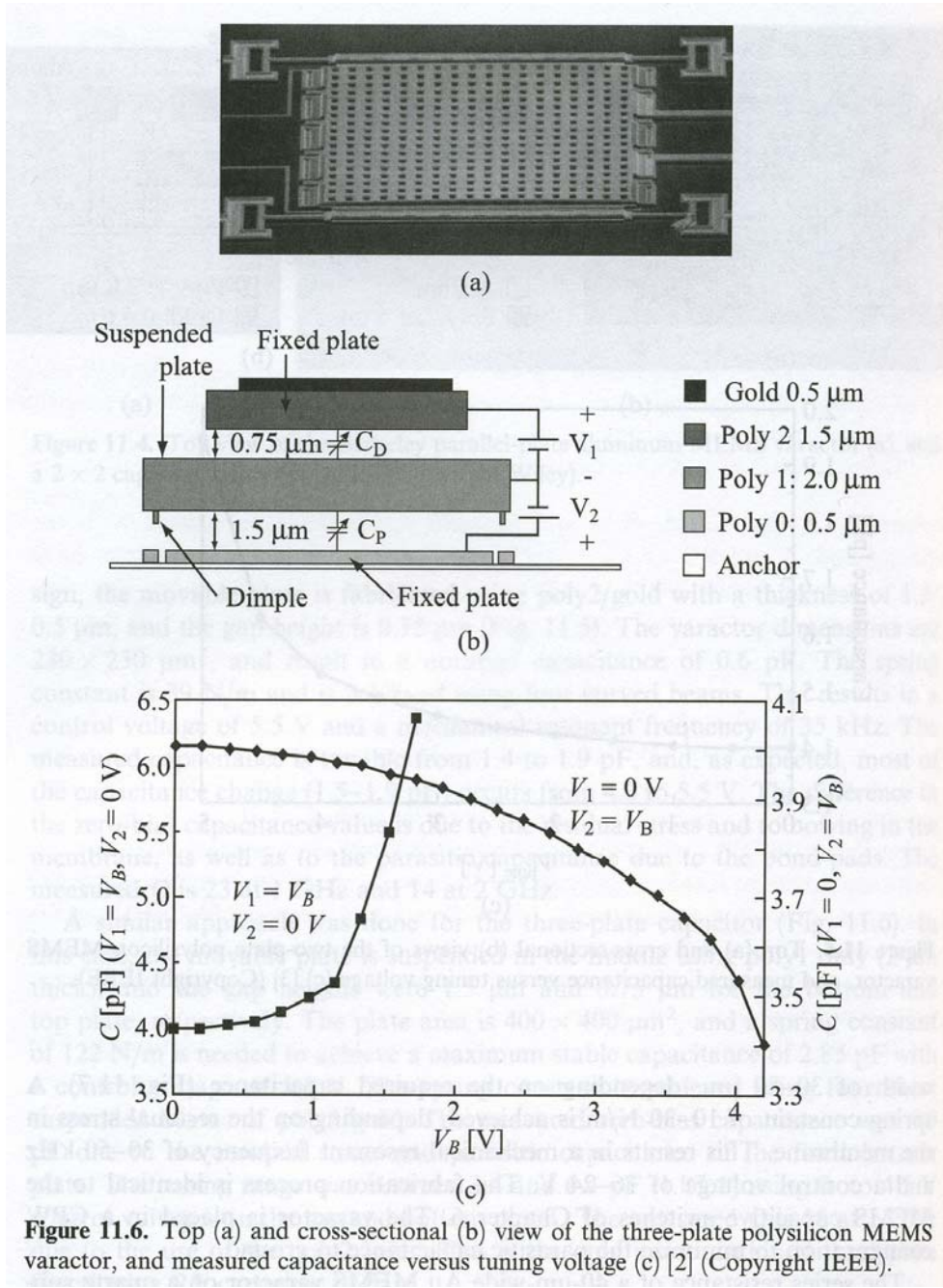


Figure 11.6. Top (a) and cross-sectional (b) view of the three-plate polysilicon MEMS varactor, and measured capacitance versus tuning voltage (c) [2] (Copyright IEEE).

Dec & Suyama, forts.

- **Prosess**
 - Standard 3-lags poly overflate mikromaskinering (MUMP's) med HF etsing og "supercritical drying"
 - Poly brukes ofte som parallell plate selv om den har mindre konduktiviteten enn Al pga. overlegne mekaniske egenskaper

TABLE I
SUMMARY OF SELECTED MUMP'S PROCESS PARAMETERS

<i>Layer</i>	<i>Thickness</i>	<i>Sheet Resistance</i>
Poly0	0.5 μm	30 Ω/sq
Poly1	2.0 μm	10 Ω/sq
Poly2	1.5 μm	20 Ω/sq
Gold	0.5 μm	0.06 Ω/sq

Dec & Suyama, eks2

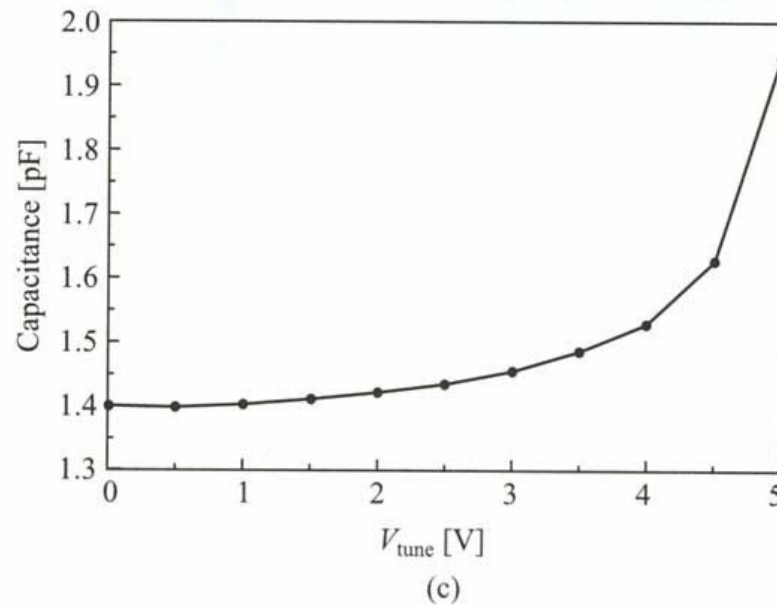
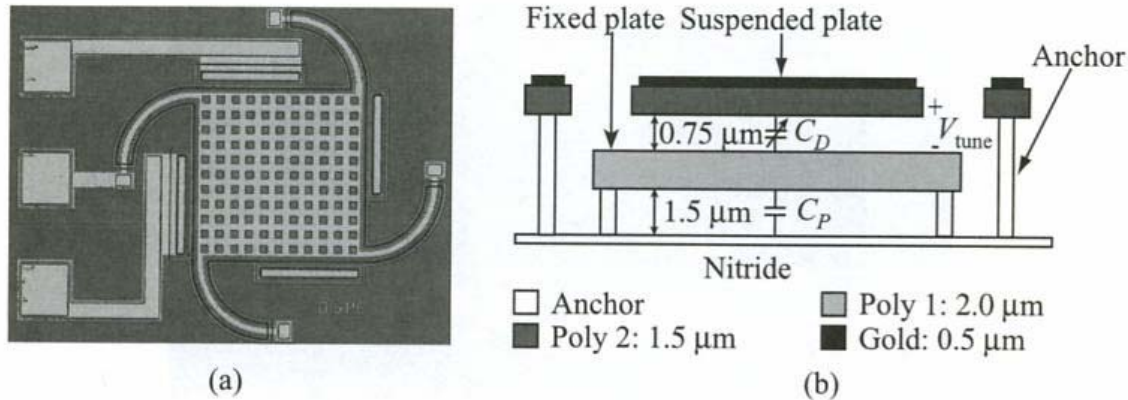
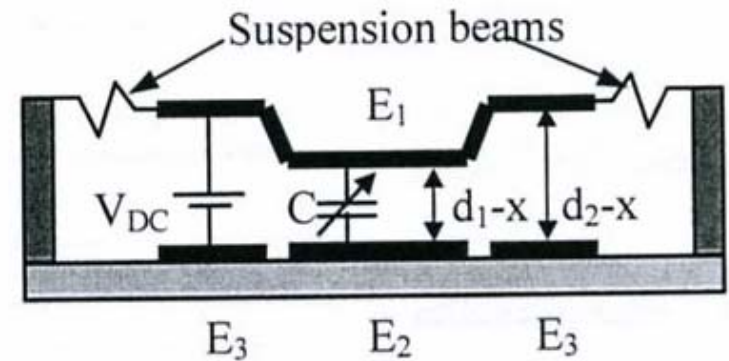


Figure 11.5. Top (a) and cross-sectional (b) views of the two-plate polysilicon MEMS varactor, and measured capacitance versus tuning voltage (c) [3] (Copyright IEEE).

Dobbelt luft-gap kapasitans

- J. Zou et al, 2000, Univ of Illinois
- Hensikt med dobbelt luft-gap
 - Øke TR
 - Eliminere virkningen av pull-in-effekten
 - Kan trekke ned til $1/3 d_2$ før pull-in inntreer
 - TR kan økes betraktelig hvis $1/3 * d_2 > d_1$
 - Dvs. midtelektroden kan trekkes helt ned uten å erfare pull-in!



Univ of Illinois, forts.

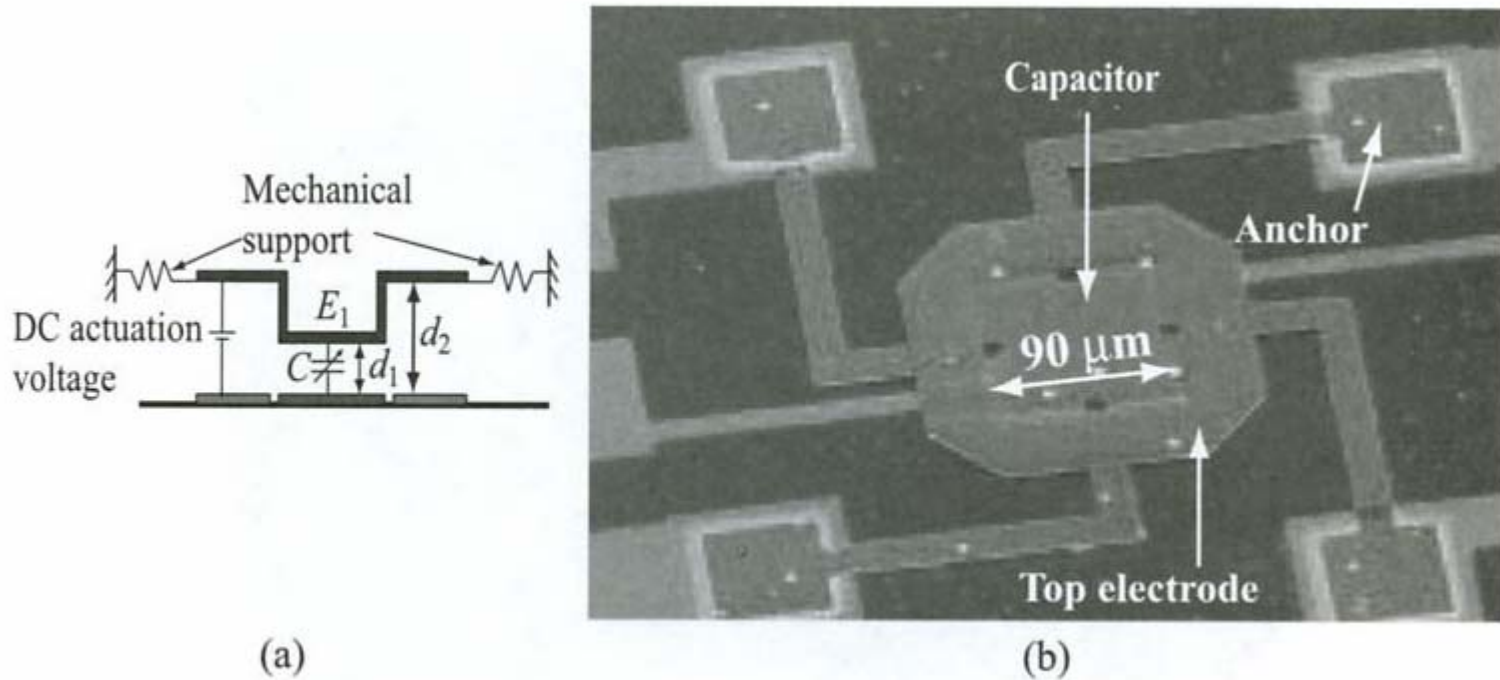


Figure 11.12. Cross-sectional (a) and top (b) view of the University of Illinois wide-tuning-range varactor [11] (Copyright Wiley).

Univ of Illinois, forts.

Forenklet fabrikkasjonsprosess

- Kobber som offer-lag
- Metaller: gull & permaloy (Ni-Fe)
- Luft-gap: $d_1 = 2 \mu\text{m}$, $d_3 = 3 \mu\text{m}$

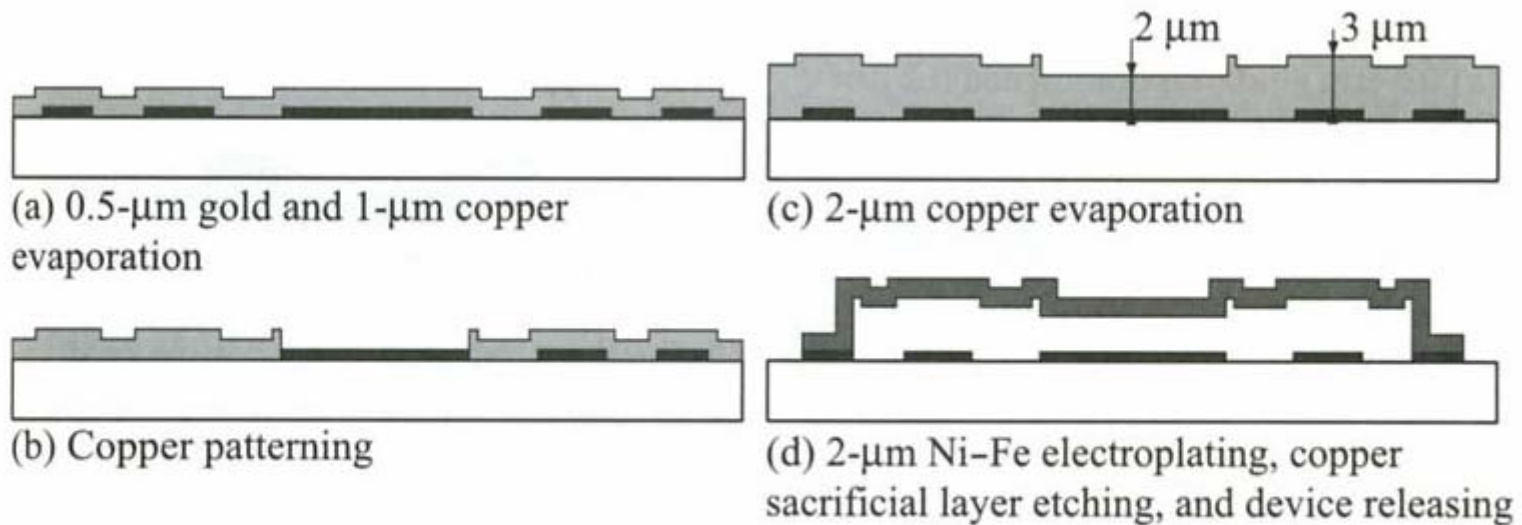


Figure 11.13. Fabrication process of the University of Illinois wide-tuning-range varactor [11] (Copyright Wiley).

Eks fra Univ of Michigan

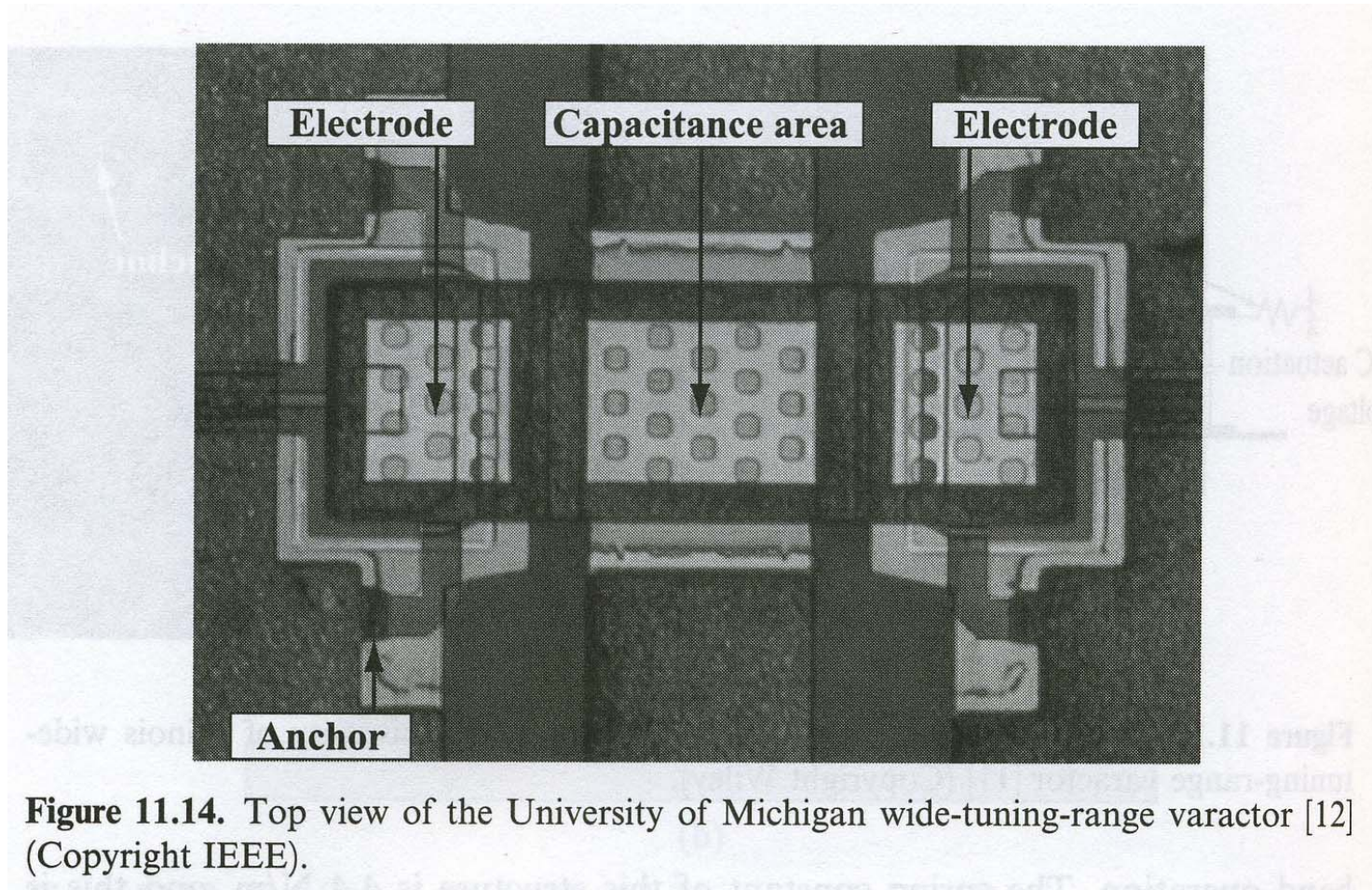
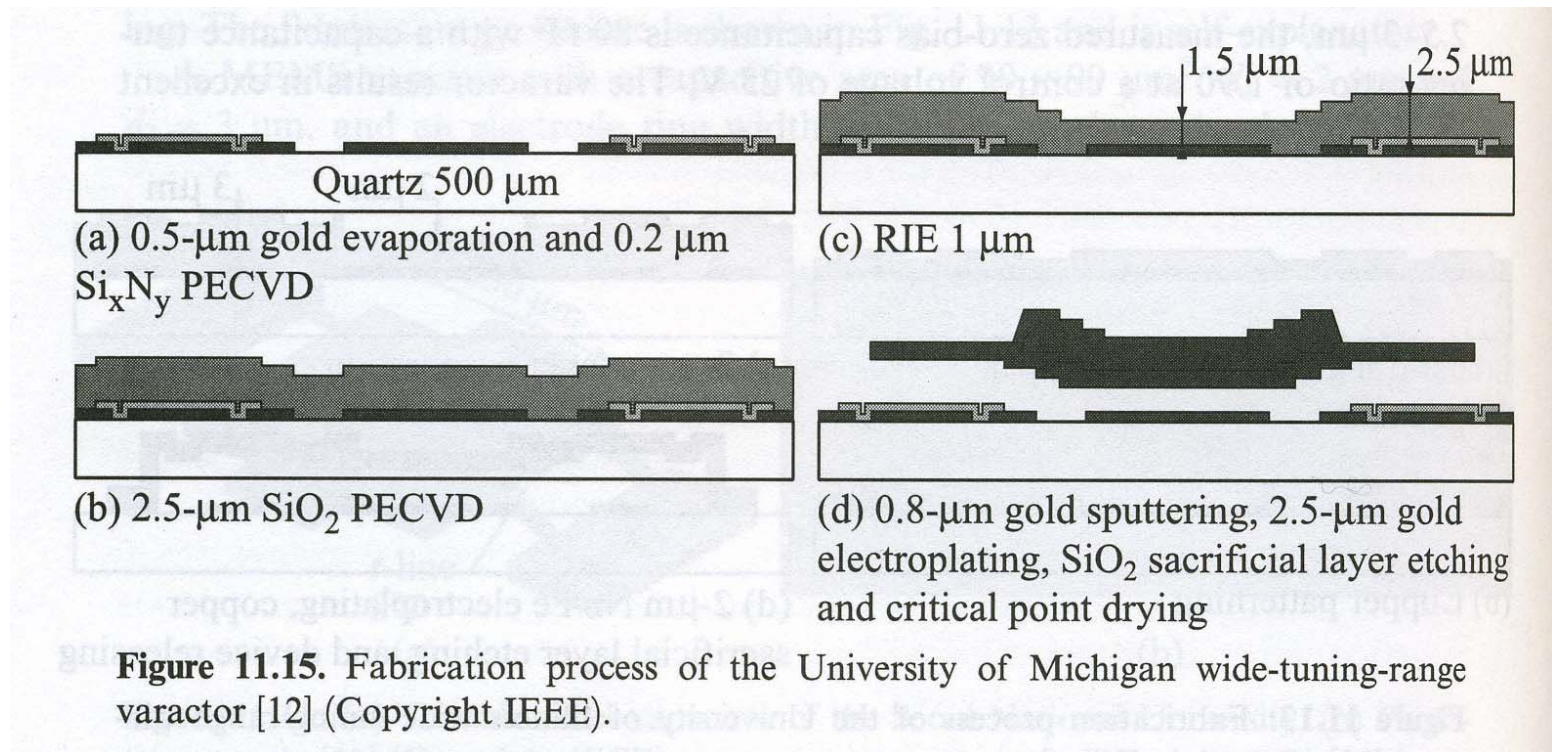


Figure 11.14. Top view of the University of Michigan wide-tuning-range varactor [12] (Copyright IEEE).

Eks fra Univ of Michigan, forts.

- Realisert på kvarts-substrat
- SiO₂ offerlag etses delvis → 2-trinns Au membran
- Q = 120 @ 34 GHz



Univ of Michigan, diskret 2-verdi

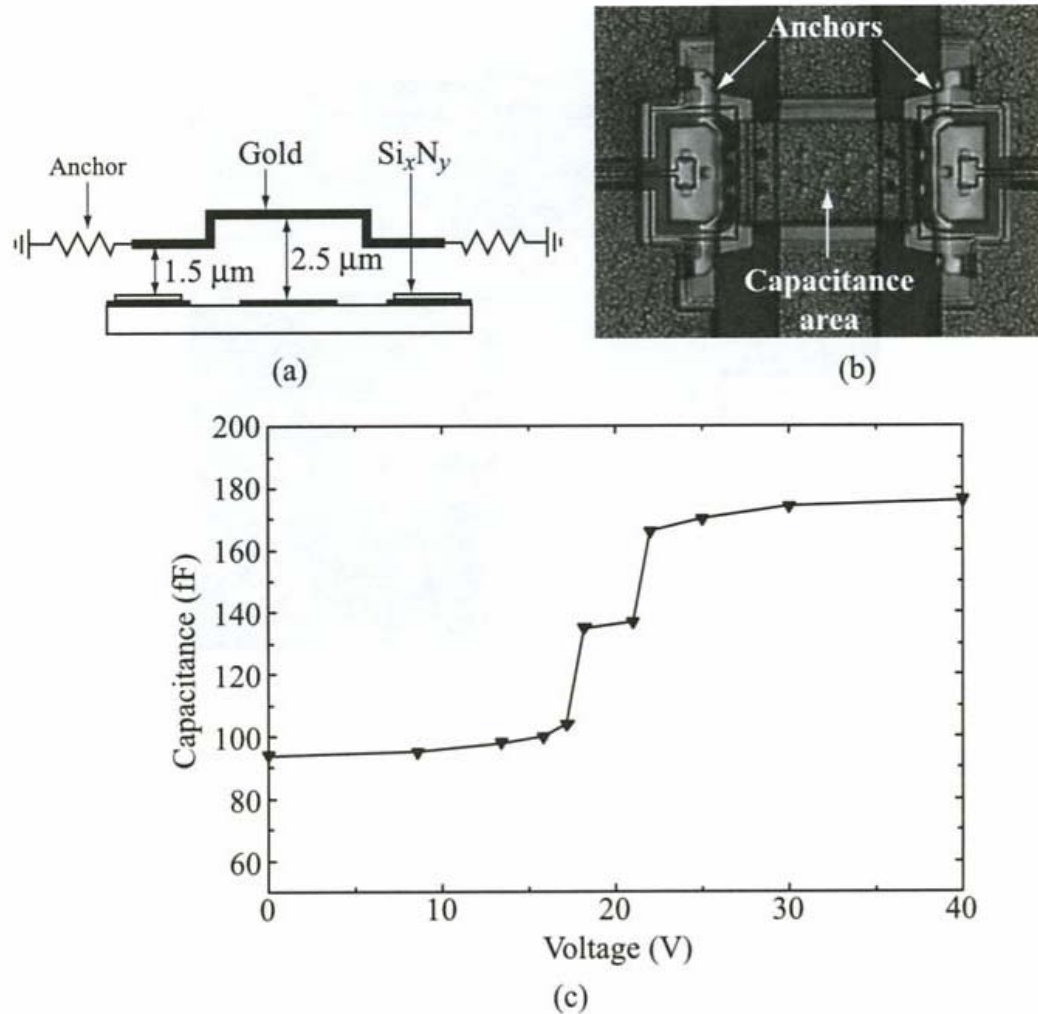
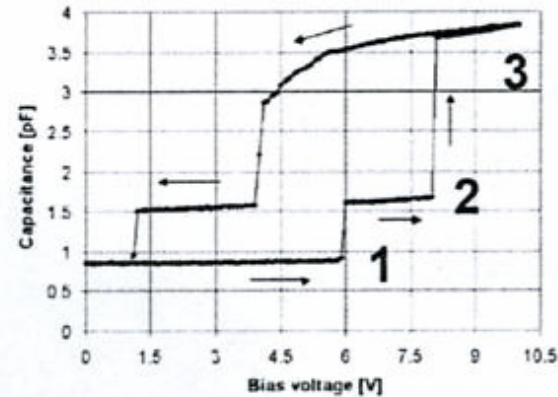
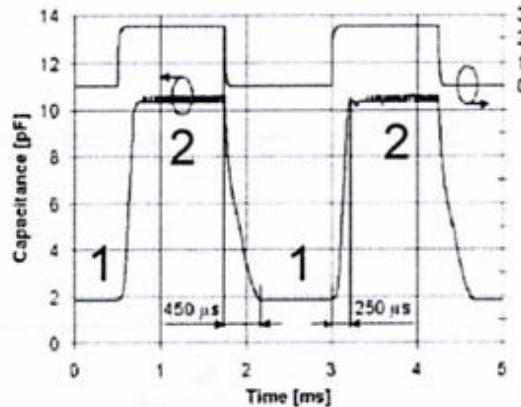


Figure 11.29. Cross section (a), top view (b), and measured capacitance (c) of the Michigan discrete two-value MEMS varactor [12] (Copyright IEEE).

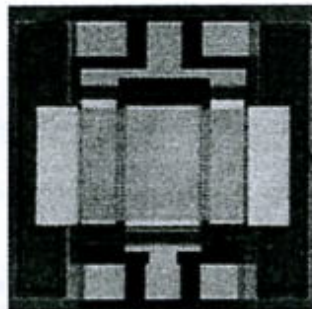


Multi-state MEMS capacitors with multi-airgap

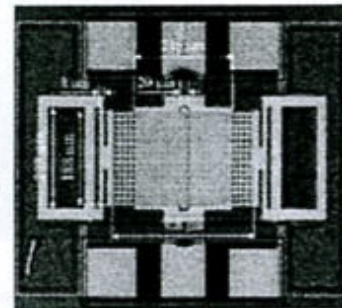
- capacitive-switch like design: t_{up} and t_{down} depend on k & voltage



2-state MEMS capacitor



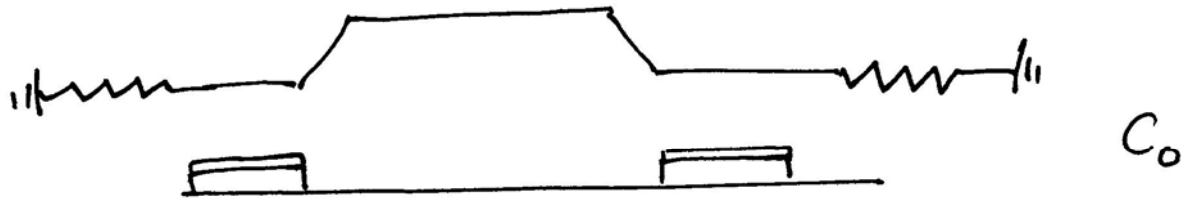
3-state MEMS capacitor



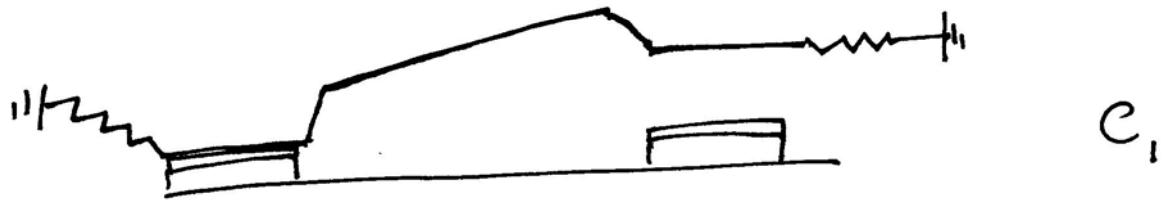
H Nieminen, V Ermolov, K Nybergh, S Silanto and T Ryhanen, J. Micromech. Microeng. 12 (2002) pp. 1–10.

Ulike segmenter med multi-gap. Kan tunes i 2 eller 3 trinn. Hysterese-egenskaper

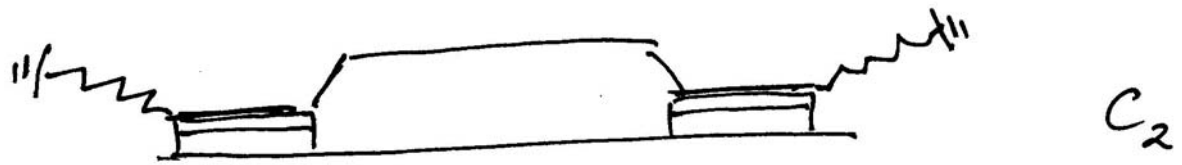
Prinsipp-skisse:



C_0



C_1



C_2

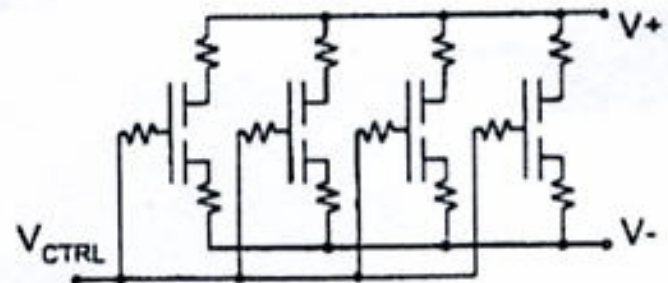
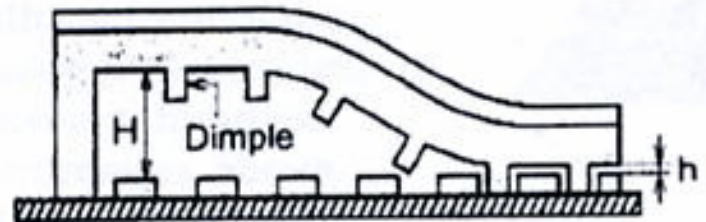
"Glidelås"-kapasitans

- Eks. på glidelås cantilever kapasitans
- Design og fabrikasjon ved **Columbia University**
 - Lang, tynn bjelke legger seg ned fra enden
 - Små kapasitans-bidrag legges til i parallell

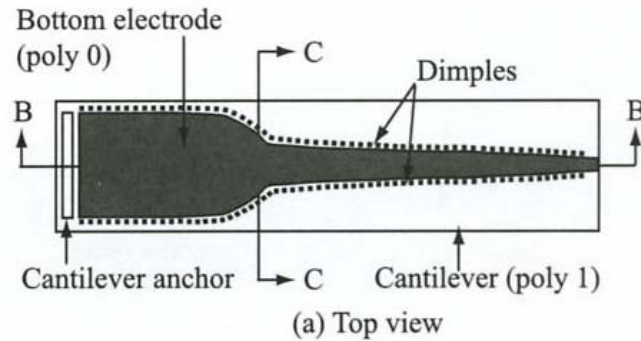
Performance:

- TR: 46% with voltage~35V
- Q=6.5 @1.5GHz
- a CMOS VCO with this capacitor exhibited TR of 4.8% with center frequency of 1.5GHz and phase noise of -131dBc/Hz @ 600kHz offset

Zipper-action cantilever



Eks fra MIT



Mykest nær endepunktet

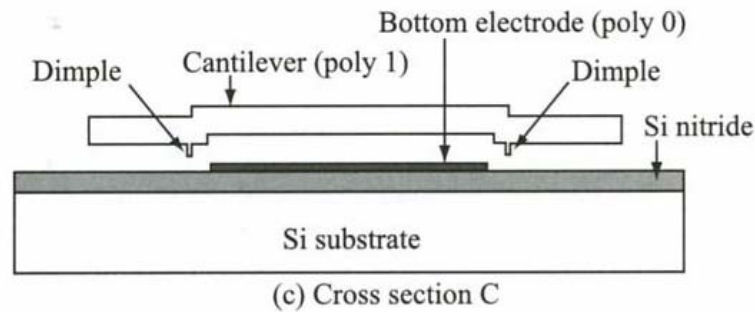
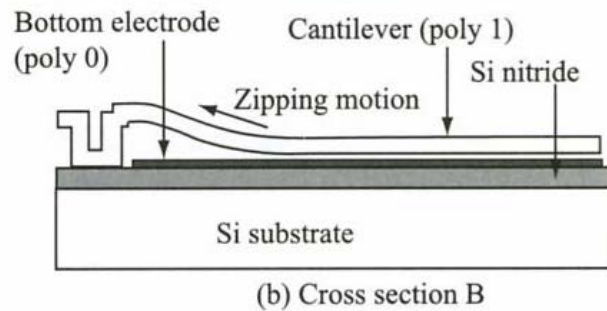


Figure 11.9. Top (a) and cross-sectional (b,c) view of the MIT zipper varactor [8].

Univ of Colorado, Boulder

- Digitalt kontrollerte enkelt-kapasitanser
- Har individuelle plater som kan trekkes ned etterhvert

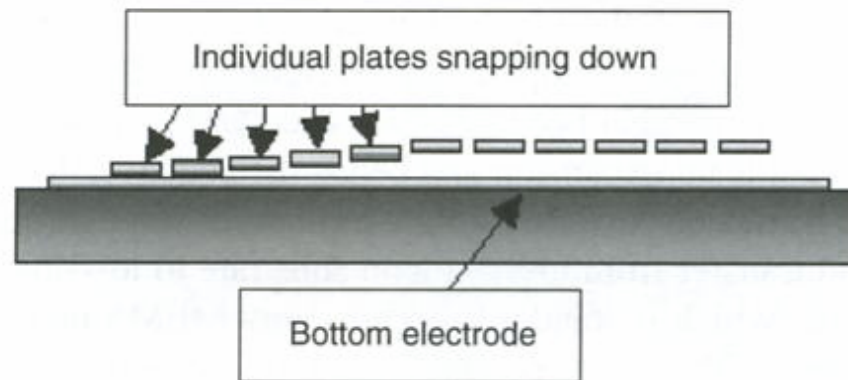
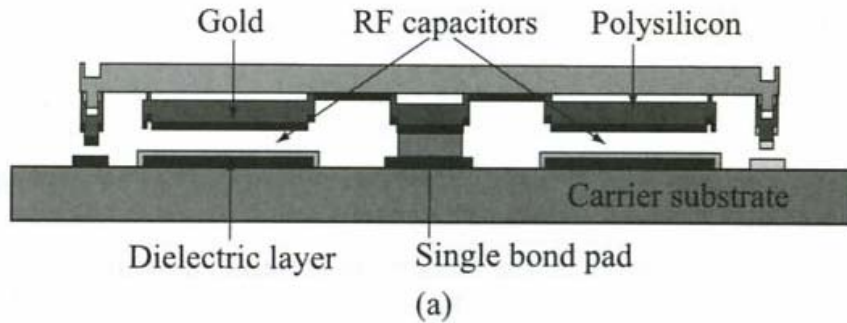
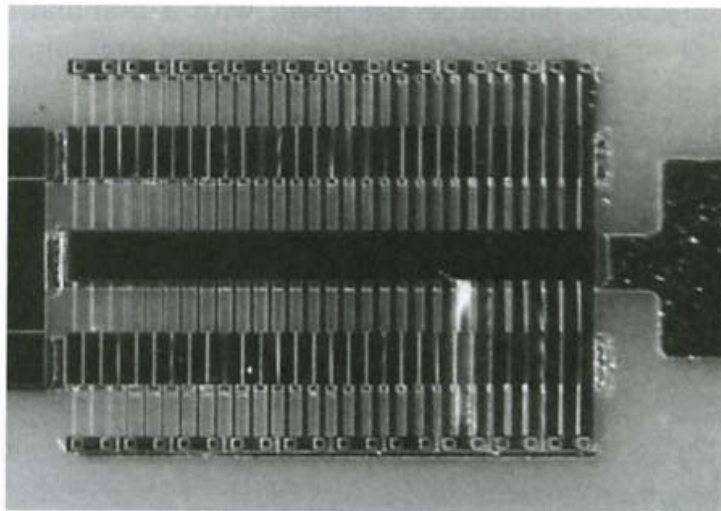


Figure 4.38 Schematic diagram of the capacitor plate arrangement. Reproduced from N. Hoivik, M.A. Michalicek, Y.C. Lee, K.C. Gupta and V.M. Bright, 2001, 'Digitally controllable variable high- Q MEMS capacitor for RF applications', in *Proceedings of IEEE MTT-S Symposium, May 2001, Volume 3*, IEEE, Washington, DC: 2115–2118, by permission of IEEE, © 2001 IEEE

Univ of Colorado, Boulder



Hver "plate" koblet med **forskjellig bredde** på bjelken, dvs. ulik fjærkonstant for hver del



Standard MUMP's prosess (poly-Si og gull), alumina-substrat

Elektrostatisk aktivering $V = 30 \text{ V}$
 $TR = 4 : 1$
 $Q = 140 @ 750 \text{ MHz}$

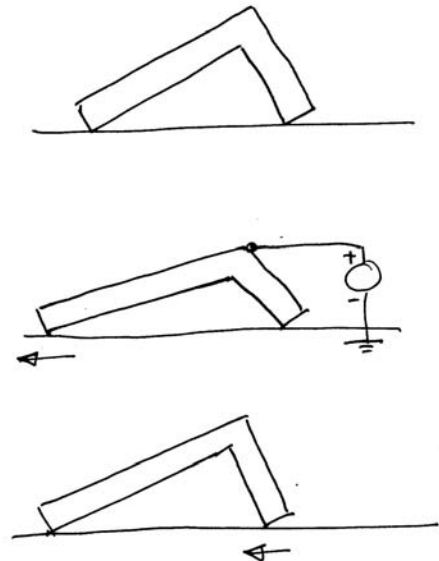
(b)

Figure 11.30. Cross section (a) and top view (b) of the Colorado RF MEMS varactor. The variable capacitors are the dark rectangles on both sides of the center conductor [23] (Copyright IEEE).

Elevert plattform kapasitans

- L. Fan et al, 1998
 - En av elektrodene kan heves opp til flere hundre mikrometer over substratet
 - 250 μm elevasjon, TR 2400%
 - ÷ Vanskelig å oppnå fin-tuning
- Benytter aktuator som skyver strukturen sammen
 - "Scratch drive actuator"
 - Må realisere hengsler

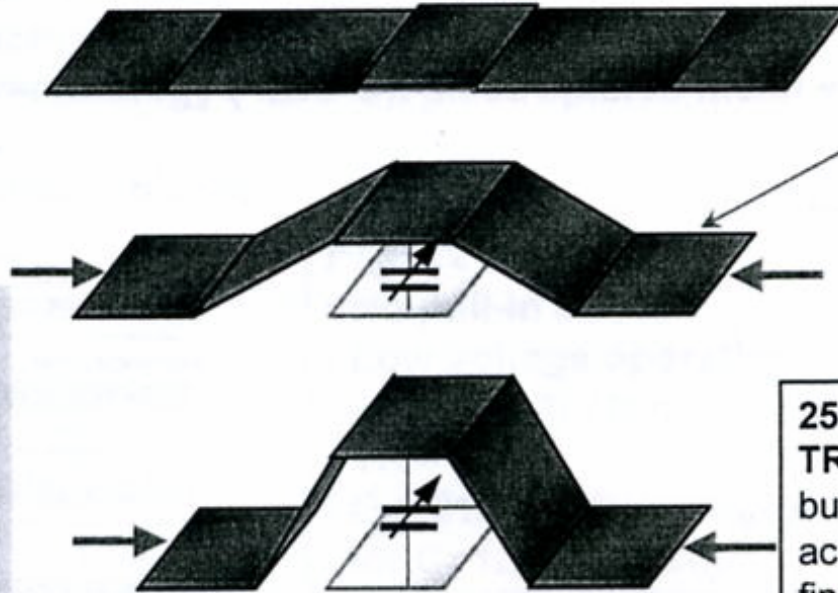
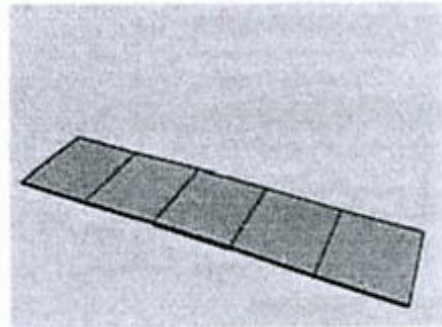
SCRATCH DRIVE ACTUATOR





Elevated platform MEMS capacitor

Idea: raise a conductive platform (one of the capacitor electrodes) up to several hundred micrometers above substrate (silicon) surface



Scratch drive actuator (SDA) arrays

250 μ m elevation (!!)
TR: 2400%
but very difficult to achieve fine tuning

L. Fan, R. T. Chen, A. Nespola, 11th Annual International Workshop on Micro Electro Mechanical Systems (MEMS '98), 1998.

Selvaktivering

- Må konstruere slik at parallell plate kapasitansene kan behandle RF power
 - AC spenning påtrykkes RF MEMS kapasitansen
 - RF frekvensen modulerer ikke C-verdien
 - MEN, **RMS-verdien** av RF-signalet vil influere C og kan indusere pull-in ved **selvaktivering**
- Kapasitanser for gap-tuning har begrenset RF power handlings-mulighet pga. lite elektrodegap
 - Reduksjon av avstand → RF breakdown

Lateralt tunbare kapasitanser

- **Horizontal** bevegelse
 - C kan tunes ved å variere **arealet**, $C = \varepsilon A / g$
 - + Ingen teoretisk grense for TR
 - + Unngår pull-in-effekten
 - ÷ Fotolitografi bestemmer presisjon av avstander
 - ÷ Mer kompliserte opphengs-strukturer?
 - Må sikre at den bevegelige strukturen henger oppe
- **Kamstruktur** er vanlig



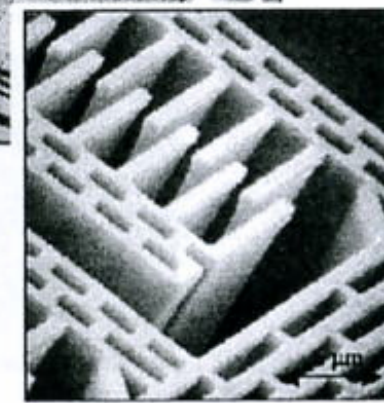
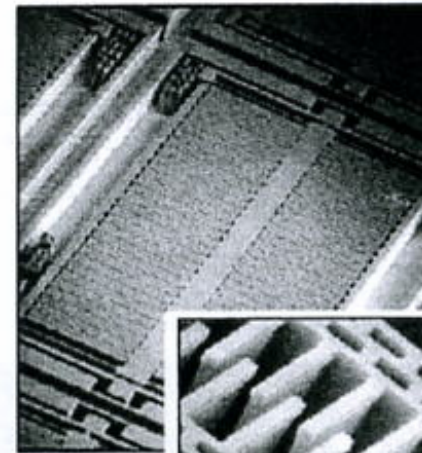
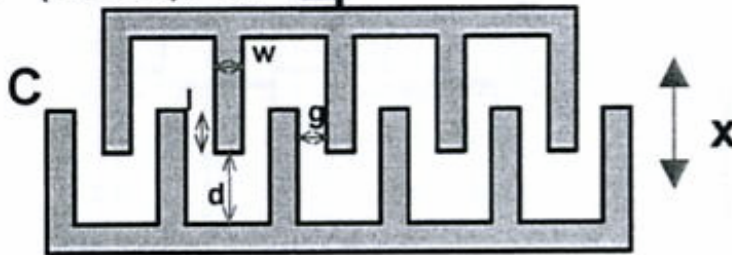
Comb-like (inter-digital) tunable MEMS capacitors

Deflection:

$$x = V^2 (dC/dx) / 2k$$



Idea: area-tuning capacitor



71

Design and fabrication

(Rockwell Science Center):

- Comb-like structure using single mask process
- Deep anisotropic silicon etching technique in ICP (inductively coupled plasma) reactor
- **Very flexible design: large range of C and TR**

Figures of merit:

- TR= 200% $C_{max}=3.2pF$, $C_{min}=6.44pF$, $V=5V$
- Recent results show: $Q > 40-160 @ 400-1600MHz$

J.J. Yao, S. Park and J. DeNatale, Solid-State Sensor and Actuator Workshop, Hilton Head Island, SC, 1998, pp. 124-127.

Enkel kam-struktur

- Eks fra **Rockwell Science Center** →
 - Inter-digital tunbar MEMS kapasitans
 - Et sett kammer er stasjonære, det andre settet kan beveges
 - Gapet forblir uendret
 - Lengden av kammen og fingerlengden begrenser tuning range
 - Kan tunes ved en elektrostatisk mikromotor eller ved å påtrykke ulike akviverings-spenninger

Rockwell Science Center, forts.

Eks på tuning

VS = RF

HS = tuning

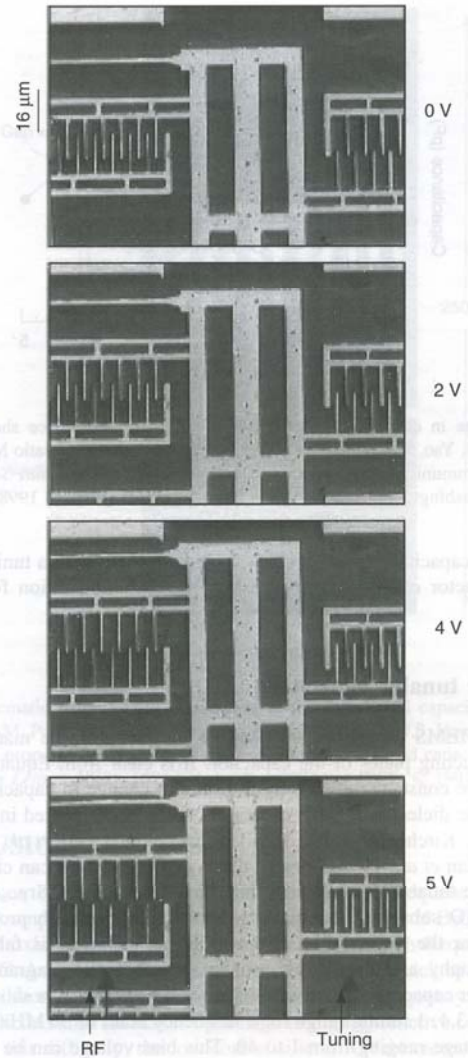
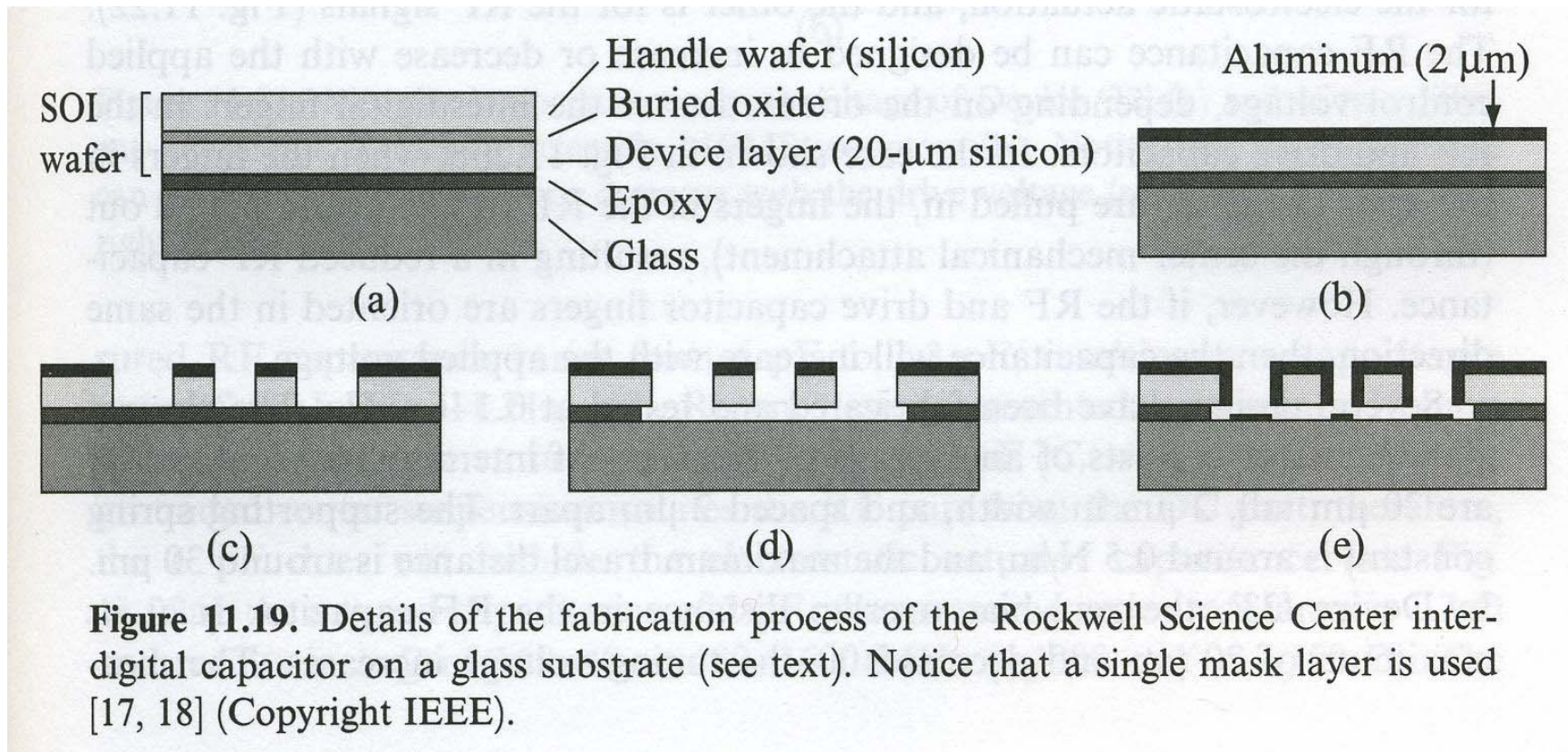
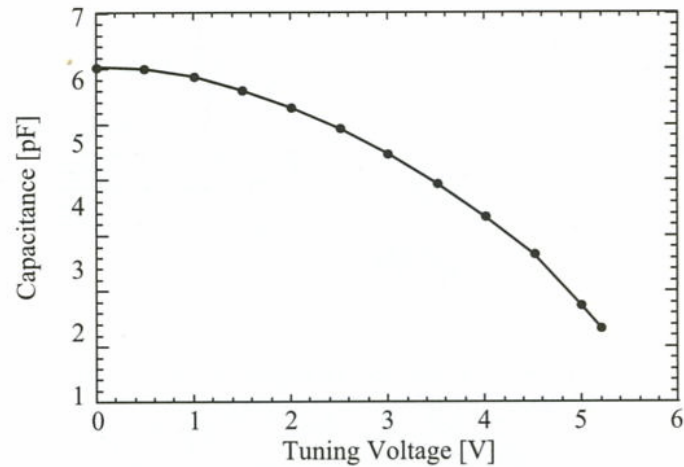


Figure 4.46 Series of images showing a MEMS tunable capacitor with a tuning voltage of 0 to 5-V. Reproduced from J.J. Yao, S. Park and J. DeNatale, 1998, 'High tuning ratio MEMS based tunable capacitors for RF communications applications' in *Proceedings of solid-state sensors and Actuators Workshop*, IEEE, Washington, DC: 124–127, by permission of IEEE, © 1998 IEEE

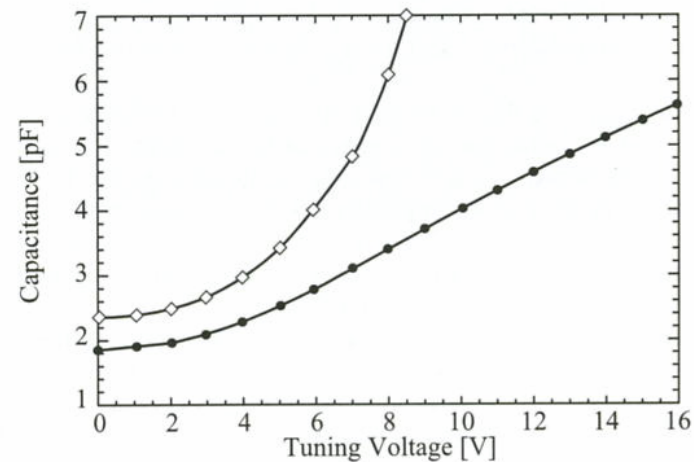
Rockwell Science Center, forts.



Rockwell Science Center, forts.



(a)



(b)

Figure 11.21. Measured capacitance versus voltage of Device '33' (a) and of two different interdigital Rockwell Scientific MEMS varactors (b). Notice that the capacitance can be designed to increase or decrease with the drive voltage (see text) [17, 18] (Copyright IEEE).

Termisk tunbar parallell-plate MEMS kapasitans

- Benytter **varme** og **kalde** armer
 - En høy-resistivitets-arm vil bli varmere og vil deformeres mer
 - Differensiell termisk ekspansjon
- Ulempen med teknikken
 - **Effekt-dissipasjon**
 - **Lav hastighet**
 - Men fjerner pull-in-begrensningen!

Univ of Colorado

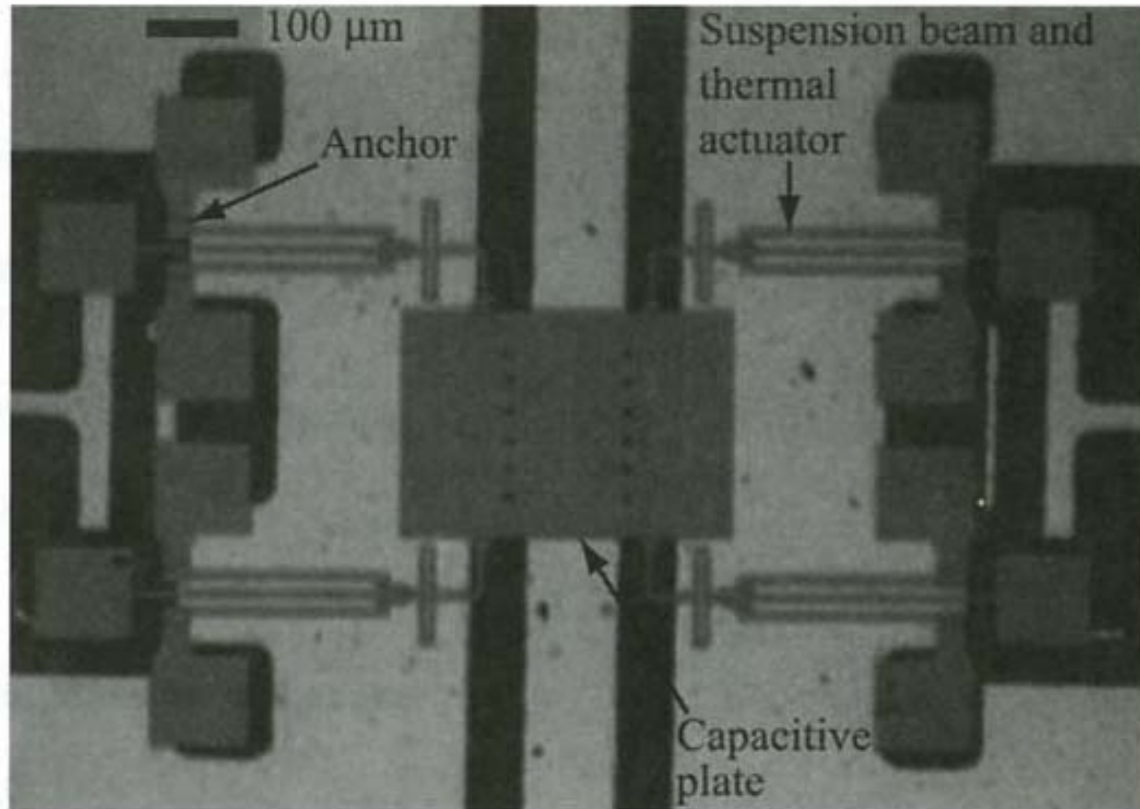
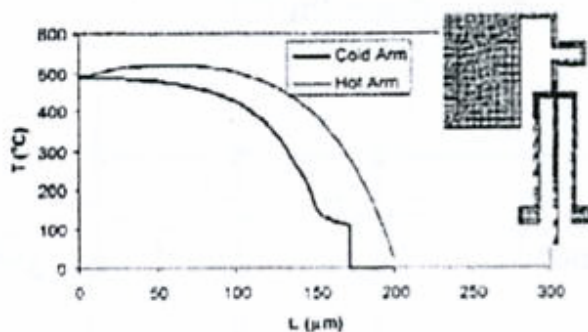
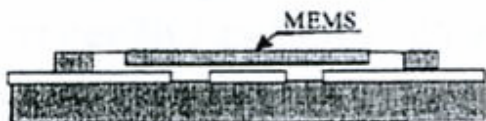


Figure 11.16. Top view of the University of Colorado thermally actuated MEMS varactor in a CPW circuit [13] (Copyright IEEE).

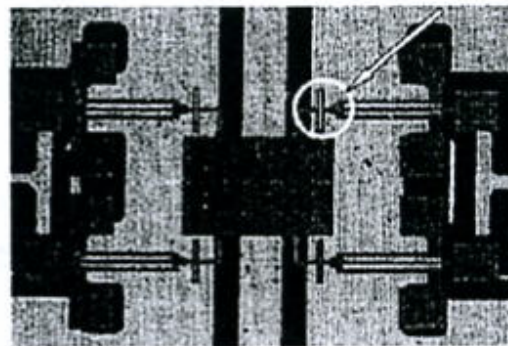
Z. Feng et al, Univ of Colorado: **Design and Modeling of RF MEMS Tunable Capacitors Using Electro-thermal Actuators**



Thermally tunable parallel-plate MEMS capacitor



- capacitor designed for millimeter-wave (up to 40GHz) applications using standard MUMP's process (poly-Si and gold) and transfer of the device on ceramics substrate
- **actuation is electro-thermal by 4 vertical electrothermal actuators (hot & cold arms)**



Performance:
 TR=2.7:1
 Q=300 @
 C=0.1pF, 10GHz

Z. Feng, W. Zhang, B. Su, K.F. Harsh, K.C. Gupta, V. Bright, Y.C. Lee, Microwave Symposium Digest, 1999 IEEE MTT-S International, Volume: 4, June 1999, pp. 1507 –1510.

Temperaturdifferansen forårsaker en vertikal bevegelse

Elektro-termisk tuning

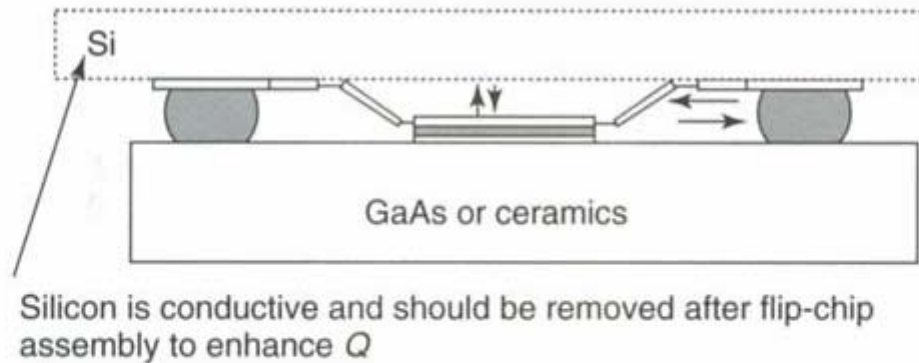


Figure 4.39 Flip-chip assembly of silicon-based MEMS. Reproduced from K.F. Harsh, B. Su, W. Zhang, V.M. Bright and Y.C. Lee, 2000, 'The realization and design considerations of flip-chip integrated MEMS tunable capacitor', *Sensors and Actuators A: Physical* **80**: 108–118, with permission from Elsevier Science, © 2000 Elsevier Science

Variable capacitors in CMOS-MEMS

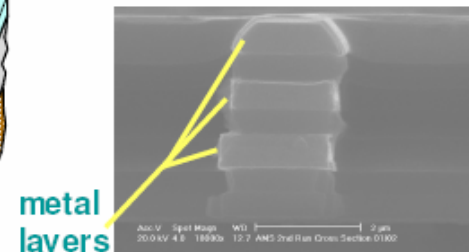
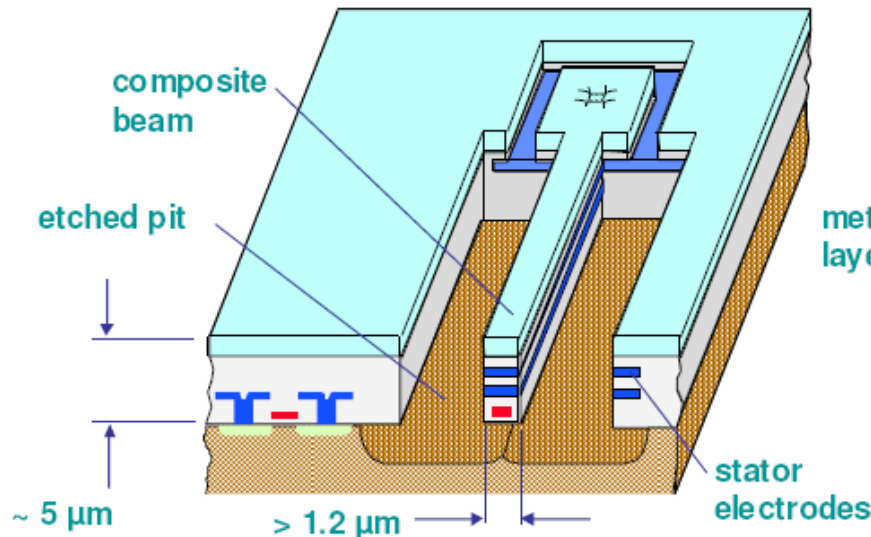


ASIMPS: CMOS-MEMS Process

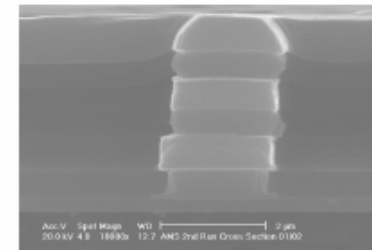


CNRS - INPG - UJF

- Microstructures made from conventional CMOS followed by two maskless post-CMOS process steps



M1-2-3 with field oxide

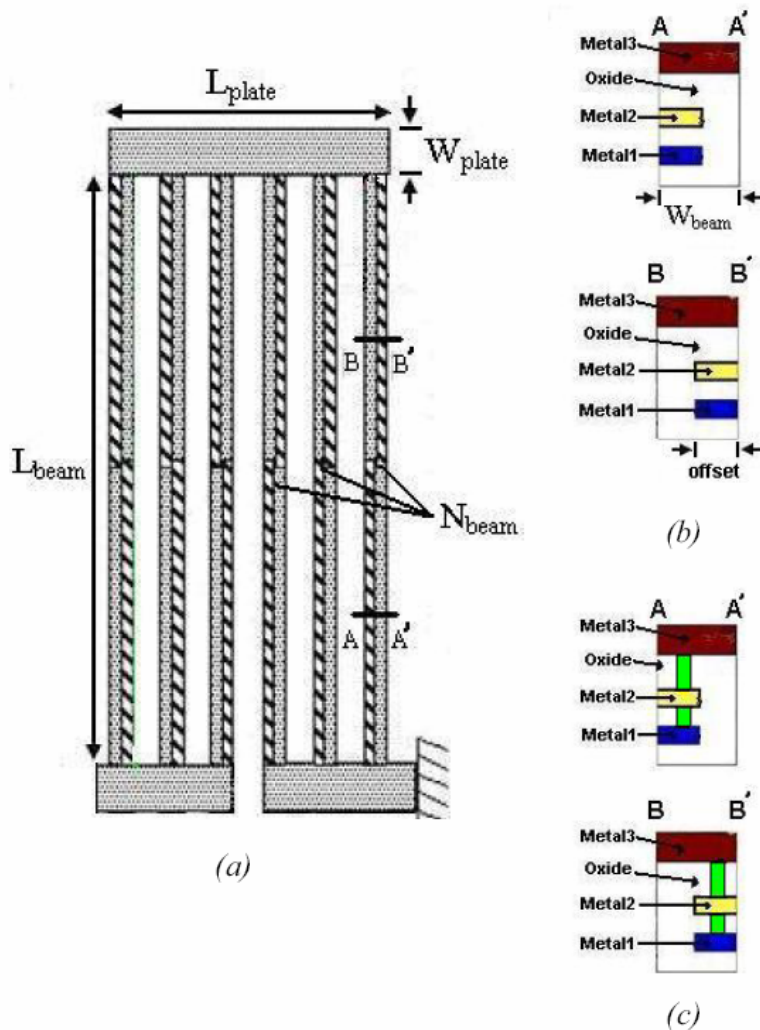


M1-2-3 w/o field oxide

■ Potential Applications

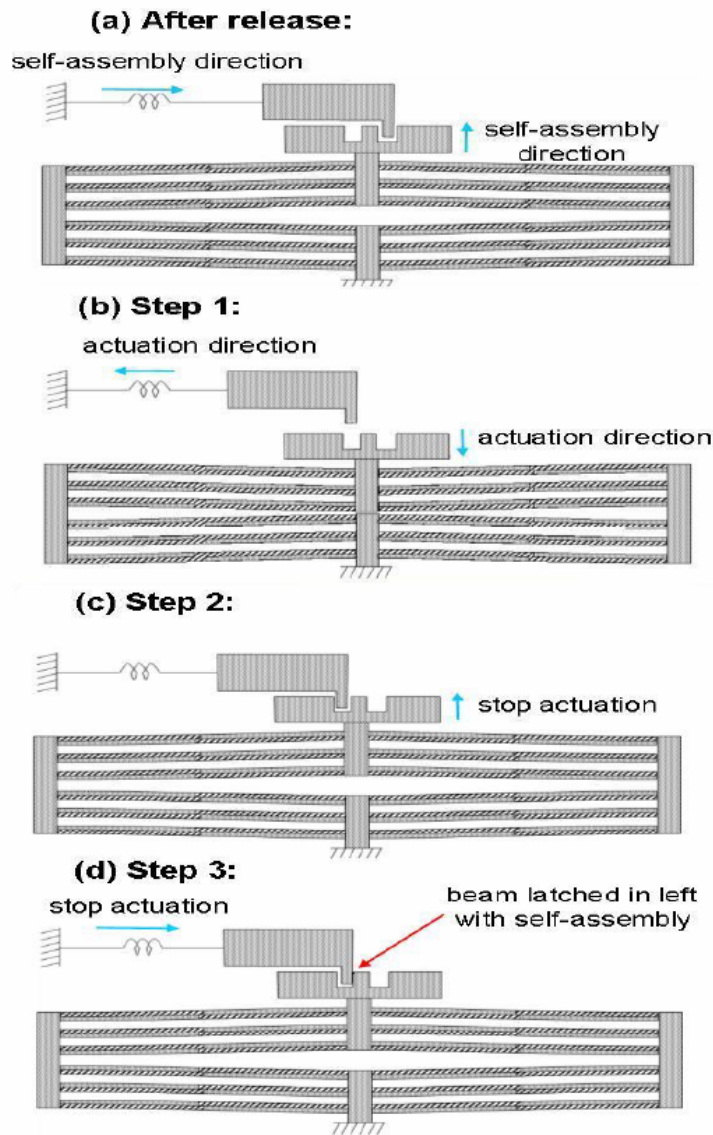
- Inertial sensors, RF MEMS, infrared sensors, flow and force sensors, ... with on-chip detection and conditioning

G. Fedder *et al.*, Sensors & Actuators A, v.57, no.2, 1996



CMOS-MEMS:
Lateral displacement due to different stress gradients in metal and dielectrics

Figure 1. (a) Layout and design parameters for a folded-flexure micromover, (b) Cross section of the micromover beams at two positions, showing the embedded metal offset, (c) Cross section of the micromover beams with vias between metal layers.



Different thermal expansion coefficients for Al and dielectrics causes movement upon heating

Figure 5. Sequential steps for lateral latch mechanism.

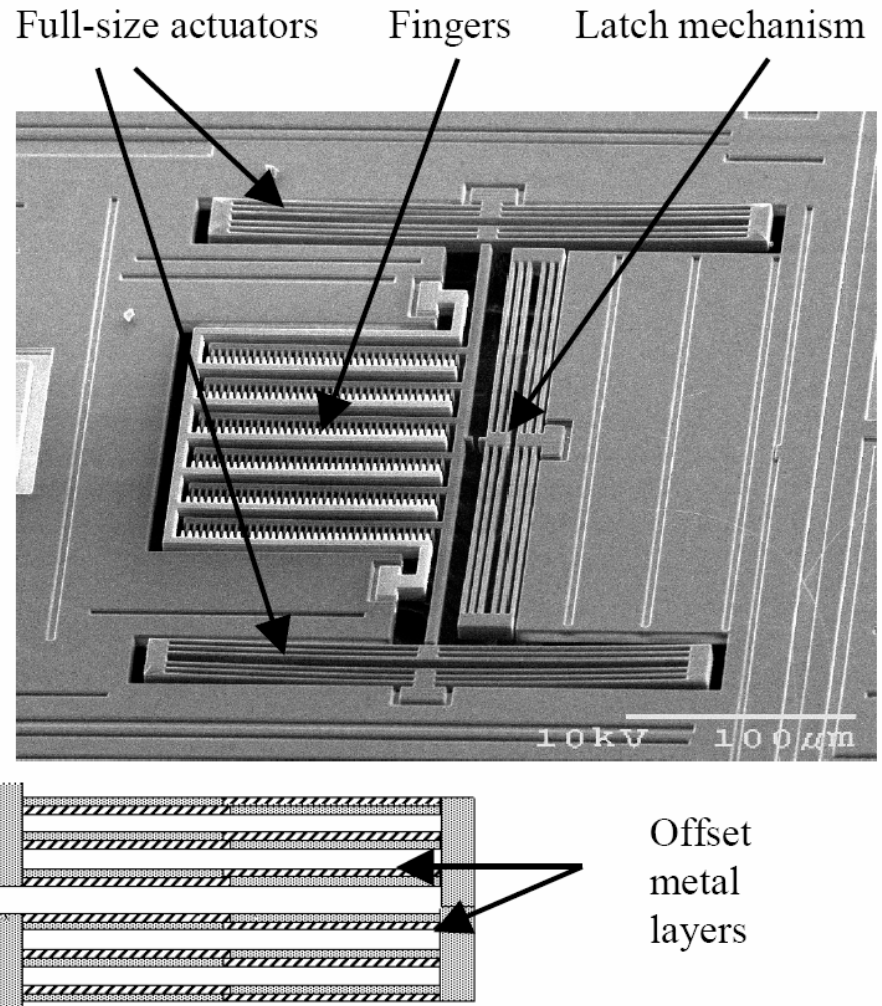


Figure 2. (a) SEM of a released capacitor in the TSMC 0.35 μm CMOS process with full-size actuators. (b) half-size actuator layout.

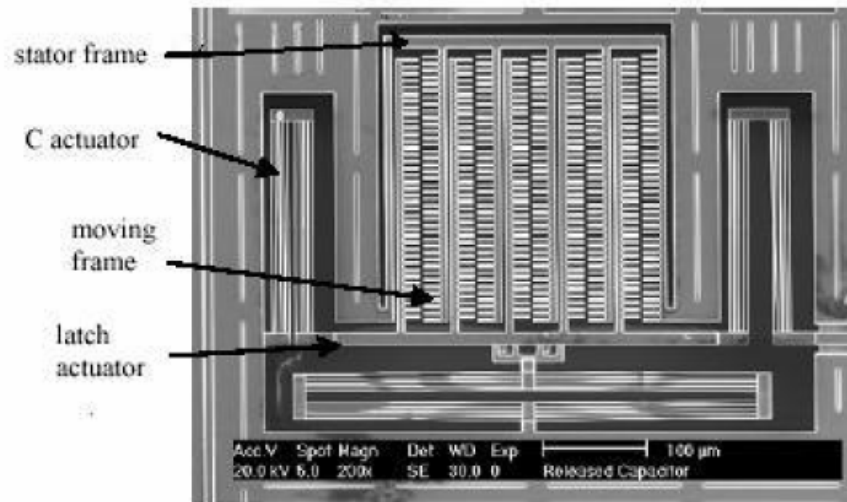


Figure 6. An unengaged comb-finger tunable capacitor.

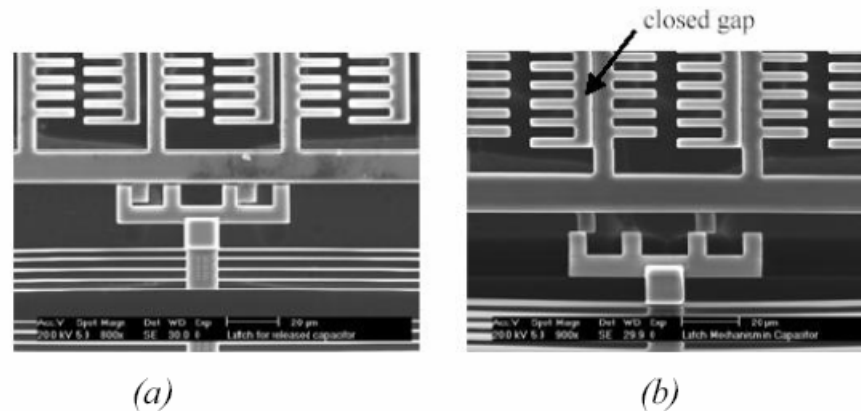


Figure 7. Capacitor latching. (a) A disengaged comb finger latch state, (b) A different latch state, where the comb truss beams contact mechanically.

Vertical curling upon post-CMOS release

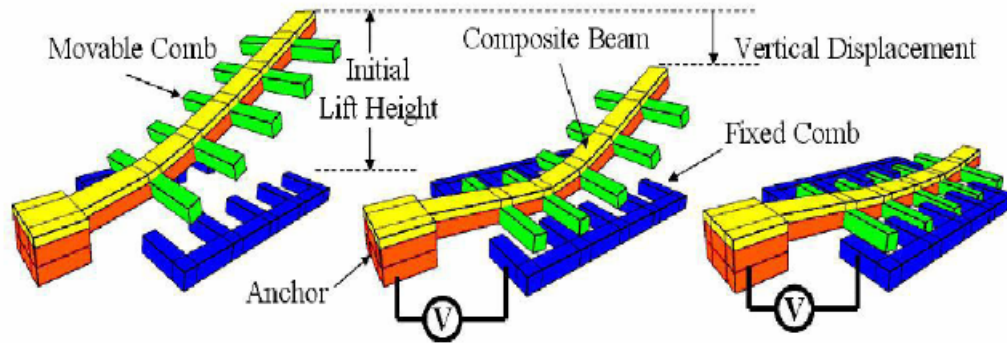


Figure 1. The resonator at different driving states. (a) Initial state. (b) Bias voltage state. (c) Critical bias voltage state.

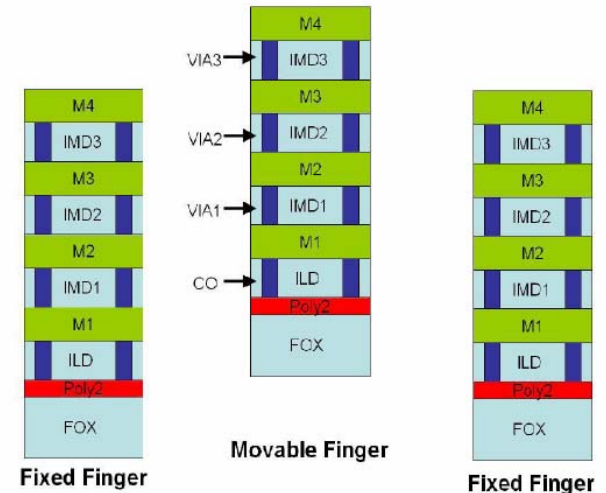


Figure 3. Cross-section of the movable and fixed comb.

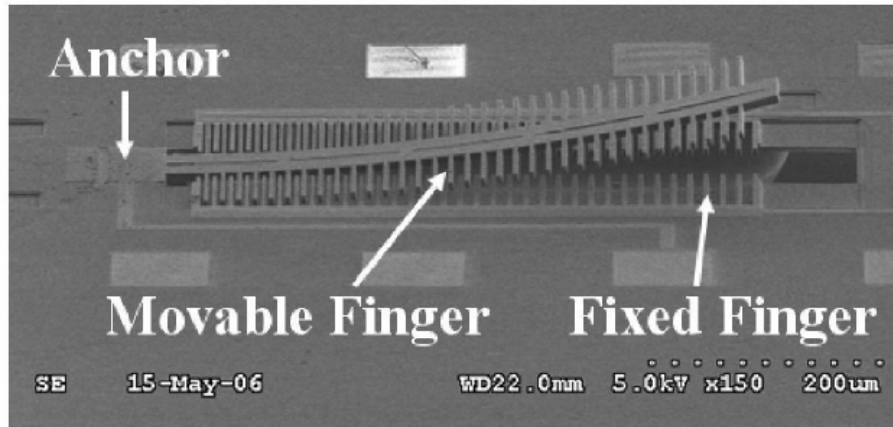


Figure 4. Fabricated resonator device.

The effect can be used for making variable C

National Chung Hsing Univ,
Taiwan, Dai et al

Piezoelektrisk tuning

En bias spenning forårsaker vertikal bevegelse av kondensator-platen

- + Lav drive-spenning
- + Lineær tuning av kapasitans

To av bjelkene forlenges

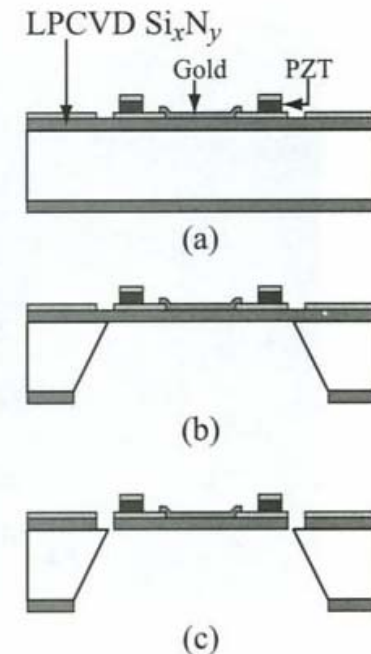
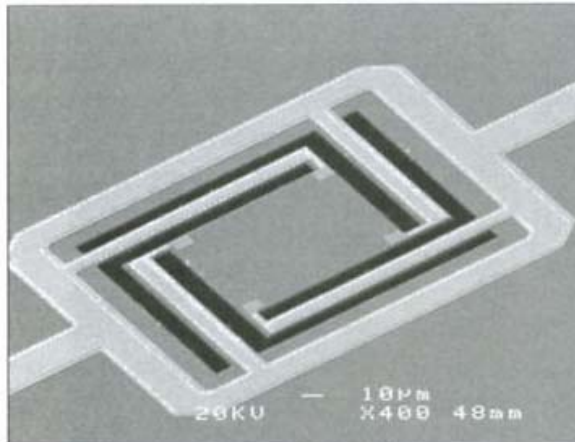


Figure 11.17. Top view and fabrication process of the LG-Electronics piezoelectric varactor [15] (Copyright IEEE).

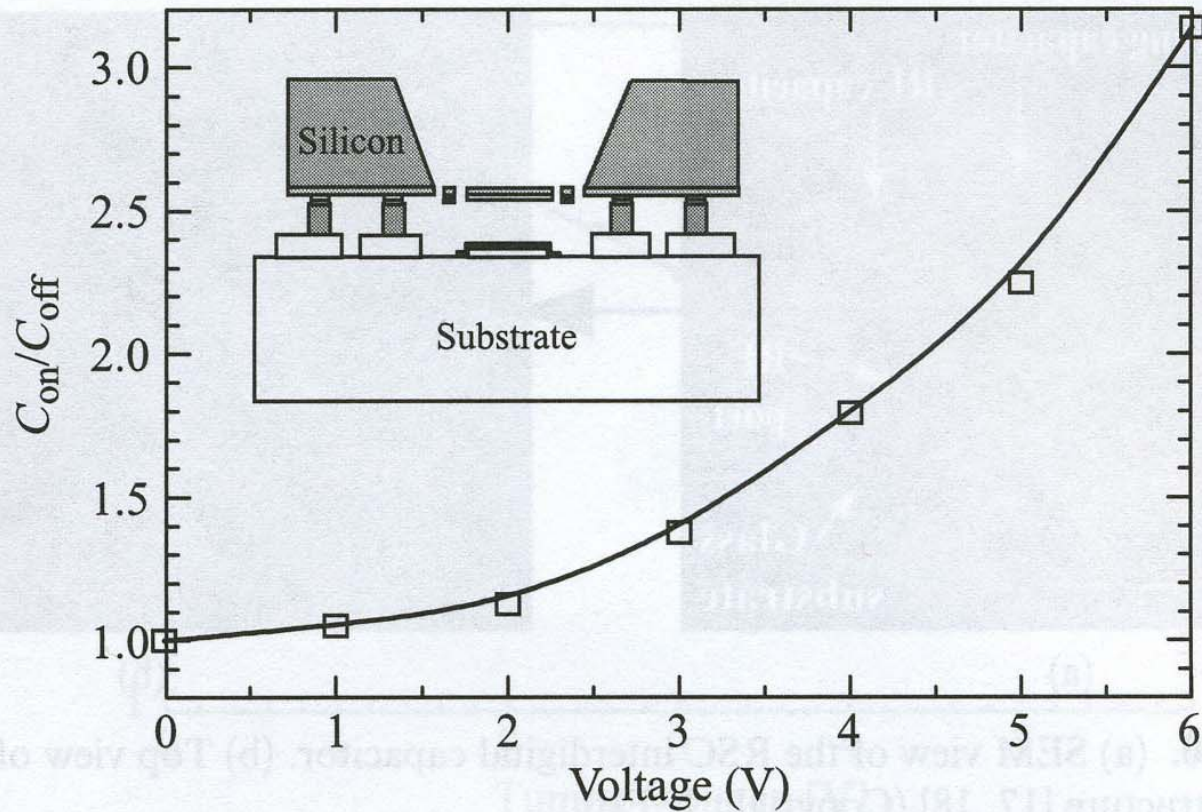


Figure 11.18. Measured capacitance ratio of the LG-Electronics piezoelectric varactor [15] (Copyright IEEE).

Dielektrisk tunbare kapasitanser

- Endring av materialegenskapene mellom platene
 - DC bias spenning kan endre de elektriske egenskapene
 - Dielektrisitets-laget
 - Dielektrisitetskonstanten, ϵ
 - Ferro-elektriske tynnfilmer, Var fig. 4.48 →

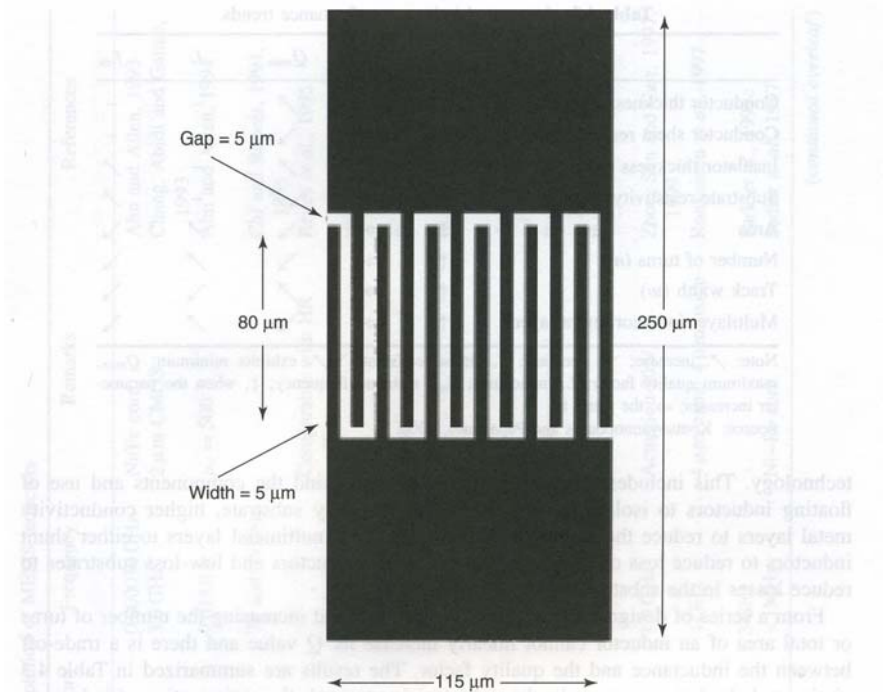
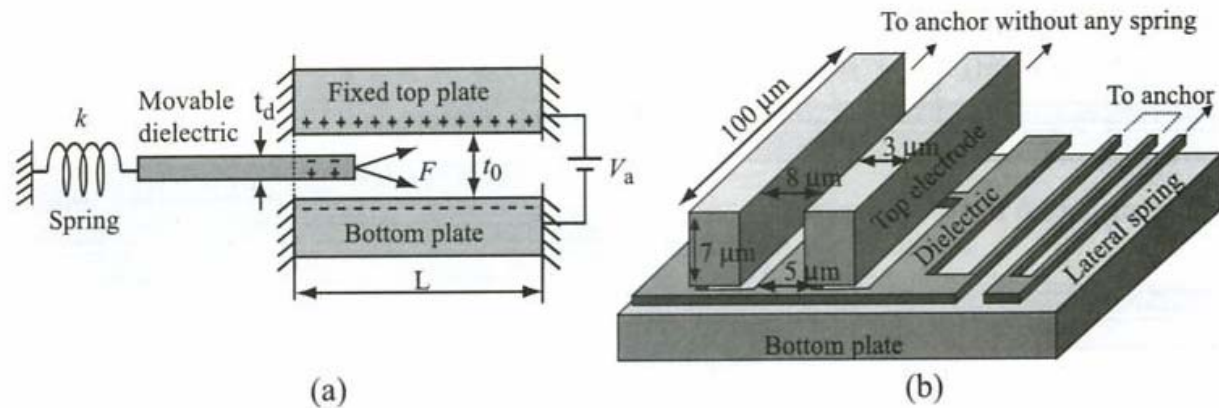


Figure 4.48 Schematic diagram and dimensions of the interdigital capacitor. Reproduced from S.W. Kirchoefer, J.M. Pond, A.C. Carter, W. Change, K.K. Agarwal, J.S. Horwitz and D.B. Chrisey, 1998, 'Microwave properties of $\text{Sr}_{0.5}\text{Ba}_{0.5}\text{TiO}_3$ thin film interdigitated capacitors', *Microwave and Optical Technology Letters* 18(3): 168–171, by permission of IEEE, © 1998 IEEE

University of Michigan



Bevegelig dielektrisk membran mellom faste plater, maskerer det effektive arealet

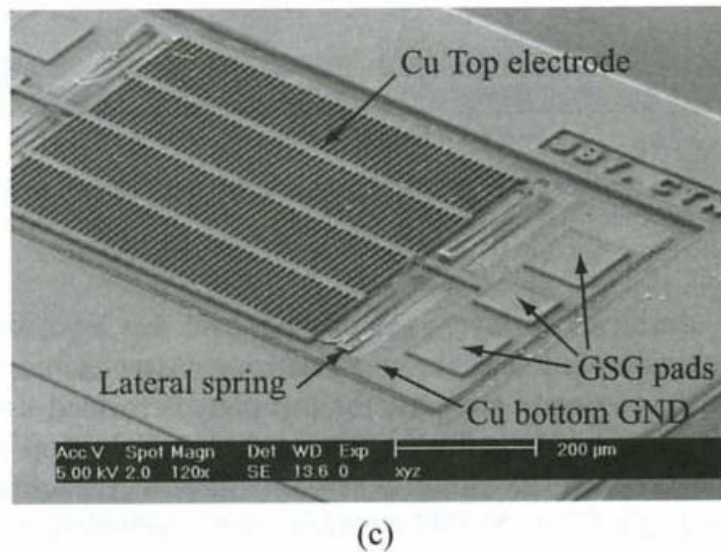


Figure 11.23. The UoM interdigital capacitor with a movable dielectric layer (a,b), and SEM picture of the fabricated device (c) [19] (Copyright IEEE).

Univ of Michigan, forklaring

- Prinsipp: både topp og bunn er rigide
- Tuning oppnås ved en bevegelig dielektrisk membran (høy-k = ϵ) som er elektrostatiske drevet
- Ytelsesparametre
 - IC kompatibel teknologi (<200 ° C), post CMOS
 - Elektroplattert metall + overflate mikromaskinering
 - Bevegelig dielektrisk membran av Nitrid
 - Ingen pull-in effekt
 - Lav aktiveringsspenning < 10 V med $k= 0.187$ N/m
 - TR = 40%
 - Q = 218 @ 1 GHz for C = 1.14 pF design (noe av det høyeste som er rapportert!)

Univ of Michigan, forts.

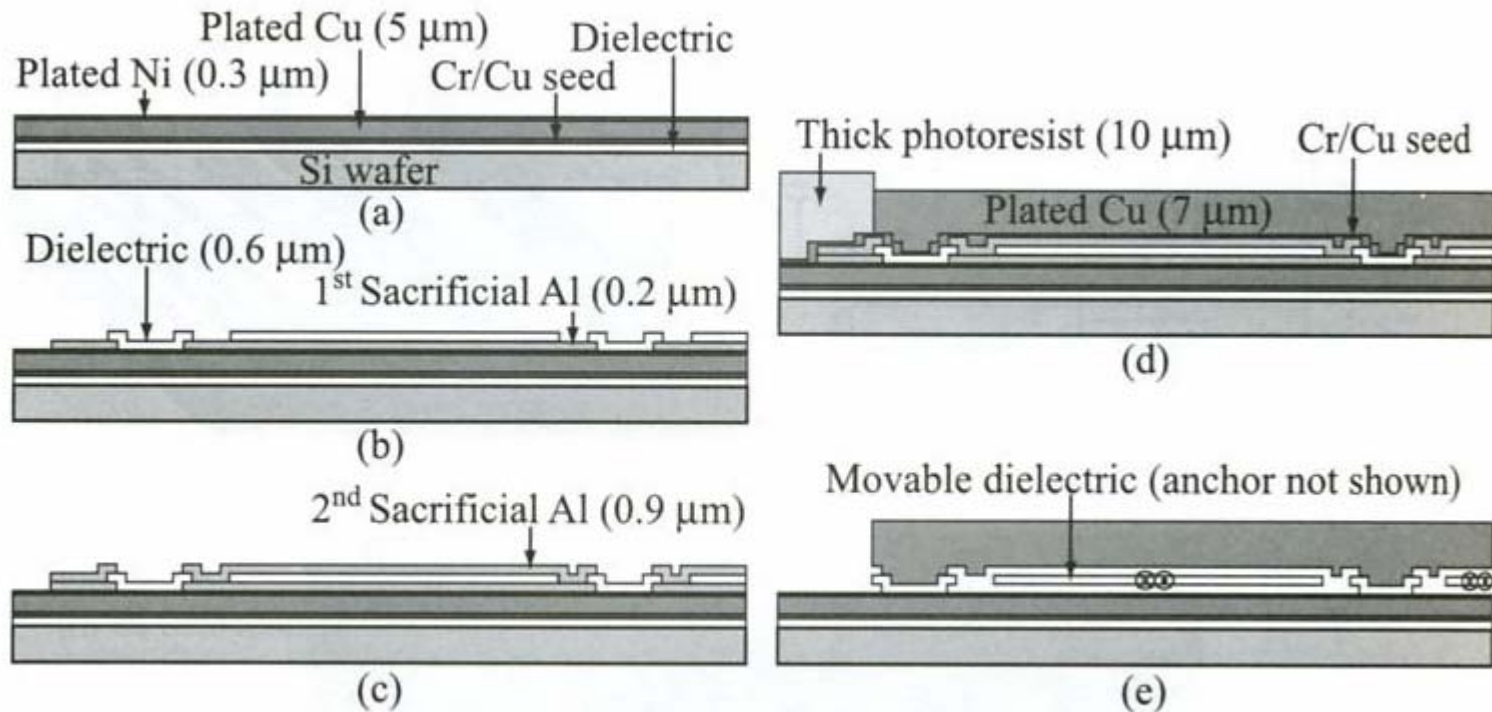


Figure 11.24. Fabrication process of the UoM interdigital capacitor [19] (Copyright IEEE).

RF MEMS kapasitans-banker

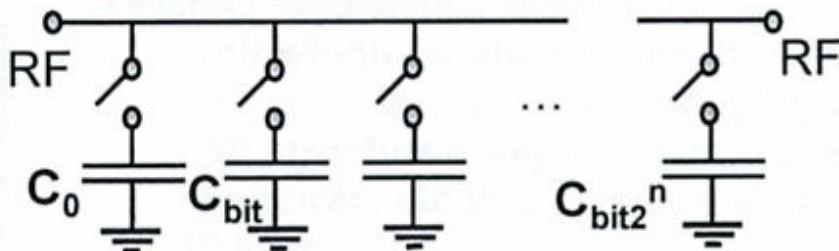
- Bruk av programmerbare **kapasitans-banker**
 - Benytte en "array" av faste kapasitanser
 - Innkobling av ønsket C-verdi
 - MEMS svitsjer benyttes for innkobling
 - Kan programmeres ved et digitalt signal

 - Både serie- og shunt-konfigurasjoner er mulig

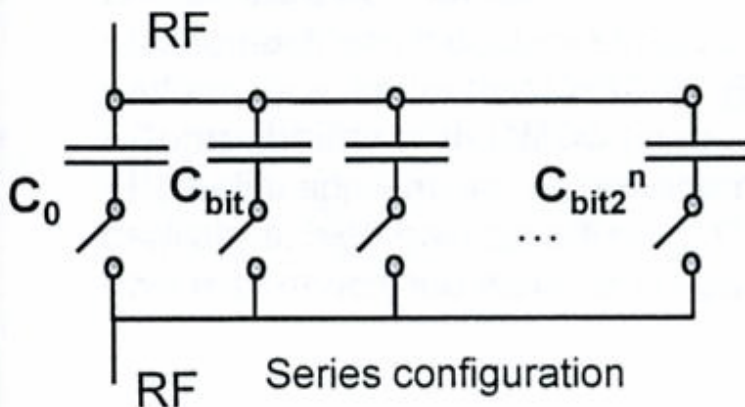


RF MEMS capacitor banks

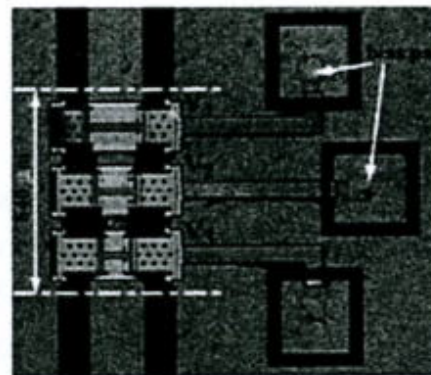
n-bit capacitor bank with capacitive switch and fixed C_0



Shunt configuration



Series configuration



Design and process (University of Michigan)

- 3-bit digital MEMA varactor on glass substrate

Performance

- TR= 3:1, C=146- 430fF in K-band
- Q= 5 – 10 @ 10GHz
- Q > 50 – 200 reported by same authors

L. Dussopt and G. Rebeiz, IEEE Microwave and wireless comp. Letts, vol. 14, 2003, pp. 361-363.

Eliminere virkning av termisk stress

- Et eksempel
 - H. Nieminen et al: "Design of a Temperature-Stable RF MEMS Capacitor, J MMSyst, vol 13, no 5, 2004:
 - Legge kapasitansen inn i en **ramme-struktur** →
 - Bruke rammen for å kompensere for det termisk induserte stresset
 - **Feste kapasitansen slik at når rammen blir deformert, så får en minimale stress-effekter på selve kapasitans-strukturen**
 - f.eks. hjørnene beveger seg lite
 - feste kapasitansen i hjørnene!

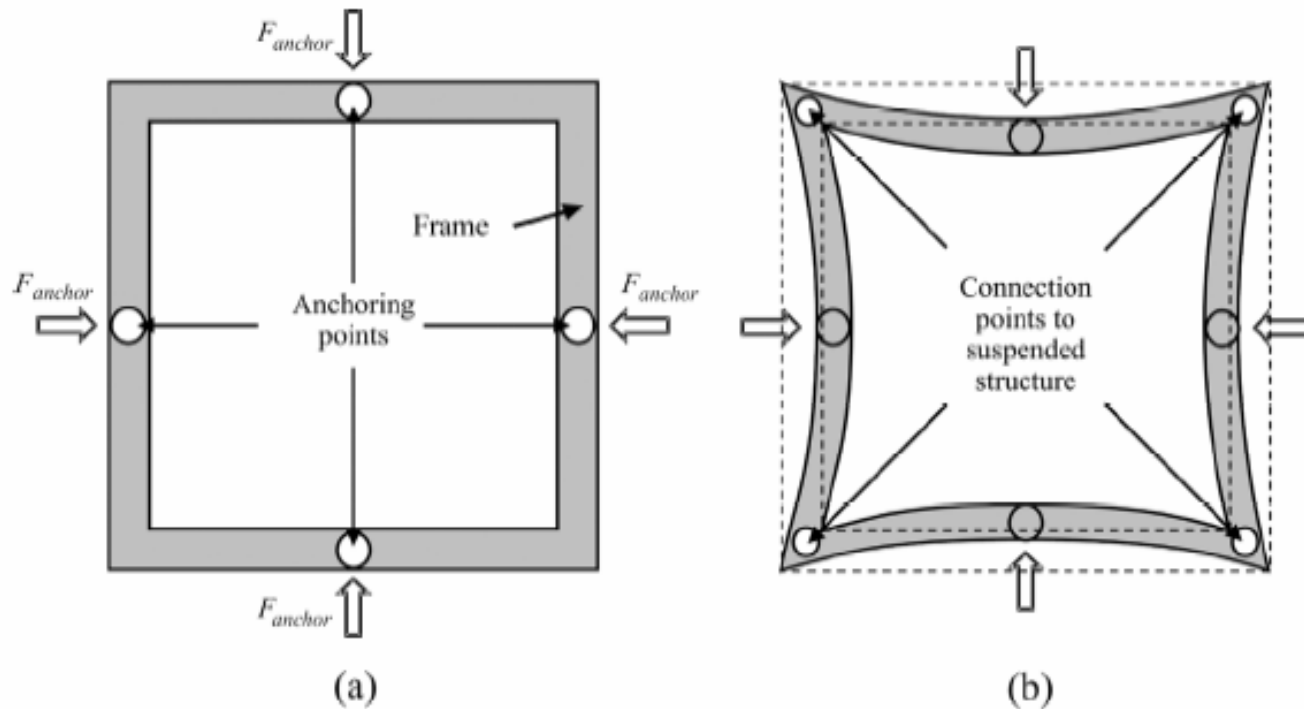


Fig. 2. The steps to create geometrical compensation of a suspended structure against external stress for arbitrary geometry are as follows. (a) Create frame geometry. Designate anchoring points. The force (F_{anchor}) that simulates the effect of external stress is exerted on these anchoring points. The force is directed to the geometrical center of the frame. (b) The frame bends due to the force. However, if the anchoring points and the geometry of the frame are selected properly, there are points in the frame that do not move or move very slightly. These are points where the frame is connected to the suspended structure.

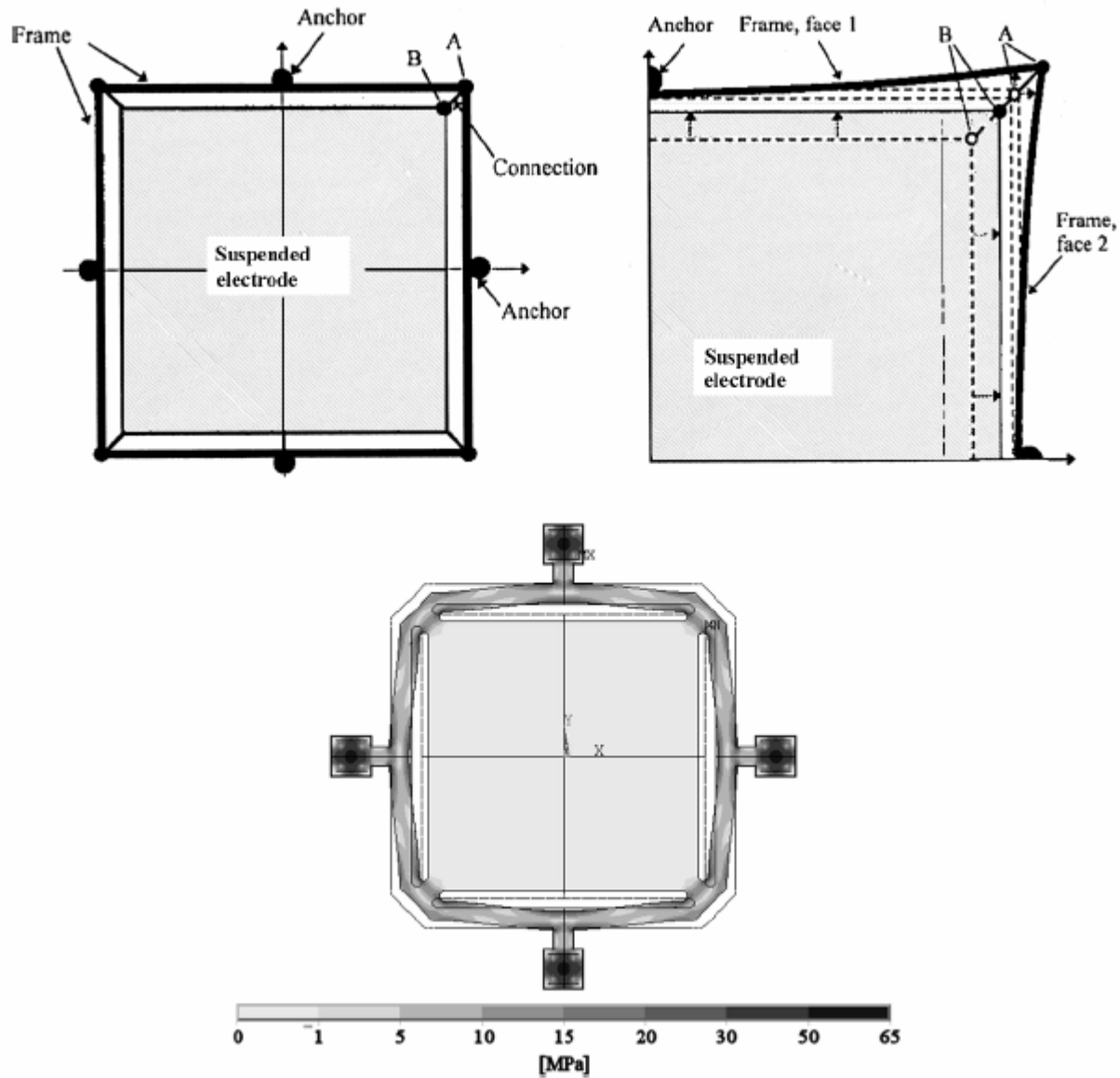


Fig. 3. FEM analysis of the temperature-compensated capacitor. Simulation is done with ANSYS. The temperature change is $-50\text{ }^{\circ}\text{C}$. The substrate is silicon. The suspended electrode, the frame and the anchors are $4\text{-}\mu\text{m}$ -thick gold. The scale at the bottom of the figure shows stress. Displacements in the figure are exaggerated.